Statyuahr N3BECTИЯ

АКАДЕМИИ НАУК АРМЯНСКОЙ ССР

Sthubyuuuu арыльфальшьгр исгри СЕРИЯ ТЕХНИЧЕСКИХ НАУК

theyur

ÉPEBAH

ԽՄՔԱԳՐԱԿԱՆ ԿՈԼԵԴԻԱՐ

Կասյան Մ. Վ. (պատ. խմբադիր), Աղոնց Հ. Տ. (պատ. խմբագրի տեղակալ), Ալեքսեհսկի Վ. Վ., Անանյան Ա. Կ., Գուոյան Տ. Ա., Զաղոյան Մ. Ա., Նաղաւով Ա. Գ. Տեւ-Ազաւե Բ. Ա., Փինաշյան Վ. Վ. (պատ խմբադրի տեղակալ) Պատասիանատու թարաուդար Ստեփանյան Չ, Կ.

Касьян М. В. (ответ. редактор) Ловиц Г. Т. (зам. ответ. редактора), Алексевский В. В. Аншили Л. К., Гороли Т. А. Задоли М. А., Назаров Л. Г., Пинасім ли В. В. (зам ответ. редактора), Тер-Аларьев И. А. Ответственный секретарь Степинян З. К.

ы мириприя Синдев в выпользования в Барскамутян, 24.
Адрис редакции: Ереван, Барскамутян, 24.

Չեխնիկական գիտութ. անբիա XXVII, M. 4, 1974

Серви технических наук

МАТЕРИАЛОВЕДЕНИЕ

М. Ю. БАЛЬШИН

количественный расчет спекания под давлением

Принципы, разработанные и последнее время [1 : 3], позволили расчитать консолидацию и уплотнение при холодном прессовании порошков. На основе тех же принципов можно расчитать эти процессы при изометрическом спекании порошков в прессформах под постоянным давлением р == const. Прежде всего для спекания под давлением должна быть действительна такая же зависимость между контактным (критическим) сечением 2 и относительной плотностью 0, как и при холодном прессовании [1,3]:

$$\theta_0 = \theta^2 \Delta \theta / \Pi_0; \quad \pi_1 = (\Lambda / \Lambda_{\pi_1})^2 / \theta_0$$
 (1)

гле a_p — расчетное, а — экспериментально определенное значение a по измерению электропроводности A пористого порошкового тела: A — электропроводность материала в компактиом (беспористом) состоянии; $\Delta \theta = 0 - \theta_0$, где θ_0 — исходная относительная плотность порошка перед спеканием; $\Pi_0 = (1 - \theta_0)$ — исходная пористость.

Формула (1) позволяет определить контактное давление $p_{\kappa}=p/2$. При спекании под давлением величина p_{κ} таким же образом связана с более низким эффективным контактным давлением $(p_{\kappa})_{s \phi \phi}$, как и при холодном прессовании [2,3]:

$$(p_{\kappa})_{s \phi \phi} = p/z_{s \phi \phi} = (1 - 2\alpha/3)p_{\kappa};$$

$$\alpha_{s \phi \phi} = \alpha/(1 - 2\alpha/3) = \alpha(1 + 2\alpha_{s \phi \phi}/3).$$
(2)

гле зффективное контактное сечение.

Специфична для спекання под давлением связь между временем изотермической выдержки t и величиной контактного давления. Проведенные ранее работы [4,5] показали, что для ряда порошков, в гом числе электролитической меди, при спекании под давлением имеет место квазивязкое течение, при котором $p_{\kappa} \sim \frac{10}{4} \frac{1}{1/t}$, где n несколько больше двух. Есть все основания полагать. Что в этих случаях для эффективного контактного давления $(p_{\kappa})_{s\phi\phi} \sim V T t$, т. е. величина n в точности равна двум. При этом должен иметь место инвариант:

$$I = (p_R)_{\text{adva}} / III = \text{const}, \tag{3}$$

где t/1-безразмерное время изихермической выдержки (в настоящей

статье численное значение этой характеристики равно отношению времени выдержки в минутах к времени одноминутной выдержки); величина инварианта / равна значению $(p_{i})_{i\neq 0}$ при минутной выдержке.

Тиблица 1

Режим	1. AUA	1	8	16	32	64	128	256
800 C. 0,8 A M	100%	-	52 · 1 91 · 9	56 · 5	60. 3	65 1	69. 3 41. 3	-
010 11 11	10000	3-14	8+50	11. 9	16. 3	21 - 7	21 0	-
	100տր 100տրի	3.20	8 · 56 9 · 00	12. 7	15. 7	21. 2	26. 9	3
	рв. Ли м°	25. 5	9,34	6.72	4 (91	3:69	2+98	-
	(ра) мунр. Мн м ² 1, Мн м ²	25. 0 25. 0	8 · 59 25 · 2	6430 25 ; 2	24. 7	3.15	24.7	-
900 C. p	1009		59. 6	63 · y	68 · 8	73. 6	79, 2	
0,8 A H A	100%	der te	67 8	56 - 5	45, 8	35 9	26. 3	
	100 s a 100 s a	5.47	15. 0	20. 3	25 4	34 2	44. 3	-
	100 х офф	5.67	16. 7	23.5	30 - 5	44 - 3	62, 9	
	Pa , MH .44 (Px) 24.42, MH .42	14. 7	5,33	3.40	3.15 2.62	2.34	1.81	
	7. MH W2	14. 2	13. 7		14. 9	14. 4	14. 2	
900°C p	1603		60 · 8	71. 8	77. 9	82. 6	88 2	94, 2
1:6 MH M2	1002		49+ 7	39.3	28 - 4	21, 1	13: 4	6. 2
-May Ferry	1007,	9.53	23 - 1	30 8	40. 7	52.8	64. 5	80, 8
-rigidi 02201	100sepp	10 - 2	27 - 2	41 - 0	56 . 0	80+ 5	113	177
	$p_{K,i} = x_i$ (p_K) sage. XH	16. 8 15. 7	6.19 5.58	3,90	3.91	3.03	2.48	0.90
	I, Ain m-	15. 7	16.6	15, 6	16. 2	15, 3	15. 8	14. 5

Табл. 1 показывает кинетику уплотнения и консолидации электролитического медного порошка ($\mathfrak{d}=0.3$) при спекании под давлением. Значения характеристик \mathfrak{d}_{-} , \mathfrak{d}_{p} , а также p_{-} , $(p_{-}-l_{-}, z_{-})$ вычислены по формулам (1), (2), (3); чегыре последних характеристики расчитаны на основ нии экспериментальных значений \mathfrak{d}_{+} . Значения характеристик при минутной выдержке экстранолированы При этом за минутное значение величин l и $(p_{-})_{l,j+1}$ припято среднее арифистическое значение l при разных значениях l. Приведены также значения относительного объеми пор \mathfrak{d}_{+} \mathfrak{d}_{+}

 в) значения и тр. расчитинные на основании формул (1), синпадали в пределах ошибок опыта;

б) имело место практическое постоянство, зувчений ризаркарта
 расчитанных на основании формул (1), (2). (3).

Таким образом, двиные табл. 1 экспериментально подтвердили

палиниться ил полодости й зирукамого и выдет вону вигация. Пл. чет

возможность применения формул (1), (2), (3) для расчета уплотнення и консолидации при спекании пол давлением.

Важное положение теория уплотивния под давлением [1] — равенство между приведенными (отнесенными к единице объема частиц) работой уплотнения ($-pd\psi$) и работой консолидиции ($p_k d\omega$):

$$-pd \circ -p_k d w, \tag{4}$$

где и - доля необратимо смещенного объема частиц.

На формулы (1) следует, что при не слишком большом прирашении $\Delta w = \omega_t$ в промежутке пременя $\Delta t = t_{t+1} > t_t$:

$$p\Delta = p(\varphi_i - \psi_{i+1}) \approx p_{-\text{cp}} \Delta \omega \approx p_{\text{vcp}}(\omega_{i+1} - \omega_i);$$

$$p_{\text{vcp}} = p_{\text{x},i+1} p_{\text{x}(i+1)}) 2 \approx -p\Delta \xi \Delta \omega \approx \Delta \tau \omega_i \Delta \omega,$$
(5)

гле μ_i , ω_i , $p_{\pi i}$ значения соответствующих характеристик в момент времени выдержки t_i , а b_{i+1} , ω_{i+1} , $p_{\kappa(i+1)}$ — в момент времени среднее значение контактного давления p_{κ, c_i} ($p_{\kappa i}$) $p_{\kappa(i+1)}$) 2; $\Delta w_n = -p\Delta b$ —приращение приведенной работы уплотнения.

Для горячего уплотнения медных порошков (см. габл. 1) имела место зависимость $\alpha = 0^2 \Delta \theta / \Pi_0$ по формуле (1). В этом случае значения $\Delta \phi = \phi_{l+1} - \phi_l$ можно высчитать по формуле, приведенной в [1]:

$$w_i = (\vartheta_i - \vartheta_0)^2 / 2\Pi_0; \ w_{i+1} = (\vartheta_{i+1} - \vartheta_0)^2 / 2\Pi_0.$$
 (6)

Таблица 2

Режим	Интернал между Іг и Іі+1, мин	8-16	16 32	32 61	64 128	128256
	100 Δ2 Δω _n Ματα - 100 100 Δω 1 px cp)p Mn .w (p _w p) · . Mn .w ²	14. 9 11. 9 1.53 7.79 8.03	11 · 2 8 · 96 1 · 54 5 · 82 5 · 82	12 · 2 0.76 2.24 -1.36 4.30	9+ 3 7+44 2+20 3+38 3+32	
900 C. p 0.8 Afn .w²	100 \(\lambda \) \ \lambda \text{Ren} \), \(Mn \) \(\mu^2 \) \ 100 \(\lambda \text{cp} \) \(\lambda \text{Fix cp} \) \(\lambda \text{Fix m} \) \(\lambda \text{Fix cp} \) \(\lambda \text{Fix m} \) \(\lambda \text{Fix m} \text{Fix m} \) \(\lambda \text{Fix m} \text{Fix m} \)	11 + 3 9 :04 1 :95 1 :64 4 :64	10 · 7 8 · 50 2 · 39	9. 9 7.92 3.00 2.64 2.74	9+6 7+68 3+70 2+08 2+08	
900 C. p 1 G MH N	100 A ² 200 MR M ² - 100 100 Am (Px cplp - MR M ² (Px cp) + MR M ² (10 · 4 16 · 6 2 · 86 5 · 81 5 · 75	10. 9 17. 4 3. 9 4.46 4.46	7 · 3 11 · 7 3 · 4 3 · 44 3 · 44	7. 7 11. 2 11. 1 2.80 2.76	7 · 2 11 · 5 5 · 2 2 · 21 2 · 23

В табл. 2 приведены данные по ряду величии, характеризующих формулы (5), (6) для медных порошков табл. 1 при различных интервалах времени. Значения t_{t+1} , $t_{$

(5), (6). Из табл. 2 видно удовлетворительное совпадение расчетных и экспериментальных значений $p_{\pi, \text{ср}}$. Таким образом, экспериментально подтверждена возможность расчета при спекании под давлением работы консолидации и уплотнения, а также контактного давления по формулам (4), (5), (6).

Значение кратковременной горячей твердости компактной меди (при минутной выдержке) по [6] при 800° равно 72, при 900 — 46 $M \mu / n^2$. Минутные значения эффективного контактного давления (p_i) $\rho_i \rho_i$ (равные среднему значению I) для спекания под давлением при режимах 800 . p=0.8 $M \mu / n^2$; 900 . p=0.8 $M \mu / n^2$; 900 , p=1.6 $M \mu / n^2$, соответственно равны 25,0; 14,2 и 15,7 $M \mu / n^2$ (см. табл. 1). Эти же значения, выраженные в процентах от соответствующей кратковременной горячей твердости, составляют 34,7; 30.9 и 33,7%, г. е. равны величине кратковременного предела текучести при соответствующих температурах.

Поступпло 6.У.1974.

Մ. ՑՈՒ, ԲԱԼՇԻՆ

ՀԵՇՄԱՆ ՏԱԿ ԵՌԱԿԱԼՄԱՆ ՔԱՆԱԿԱԿԱՆ ՀԱՇՎԱՐԿ

Ամփոփում

Էլեկտրոլիտիկ պղնձափոշու օրինակի վրա կատարված է փոշևնյունի մի շարբ բնուքնագրերի՝ կոնտակտային ձնշման, խտացման ու կոնսոլիդացման աշխատանբի, Տարաբերական խառվելան,—փոփոխման կիննտիկայի վերլուձական և փորձարարական հաշվարկ՝ հաստատուն ճնշման տակ իզոներմիկ հռակալման դեպքի համար։

ЛИТЕРАТУРА

- 1. Вальшин М. Ю. Паучные основы порошковой металлургии и металлургии положна Пад «Металлургия», 1972
- 2. Бальшан М. Ю. В со. «Тр. Всес. Науч. техи, конференции по металлокерам мате риалам и изделиям». Ерепан, 1973

3. Бальшин М. Ю. -Порошковая металлургия», 1973, № 10-

4 Бальшин М Ю. В сб.: «Песледования по жаропрочим сплавам», т. 7, 1961.

5 Бальшин М. Ю., Грофимова А. А. «Металлургия и топливо», № 6.

6. Лозинский М. Г Высокотемпературная металлография. Пад. АП СССР, 1989.

ՀԱՅԿԱԿԱՆ ՍՍՀ ԳԻՏՈՒԹՅՈՒՆՆԵՐԻ ԱԿԱԴԵՄԻԱՅԻ ՏԵՐԵԿԱԳԵՐ ИЗВЕСТИЯ АКАДЕМИИ НАУК АРМЯНСКОЙ ССР

Տեխնիկական դիտուս, պետհա XXVII. № 4. 1974 Серия технических наук

материаловедение.

В. С. ПОГОСЯН, М. А. СУРИС, Э. Б. ФИНКЕЛЬШТЕПИ

КОРРОЗИОННЫЕ ИСПЫТАНИЯ СТАЛИ В КОНТАКТЕ С АВТОКЛАВНЫМ ПЕНОБЕТОНОМ И БИТУМОПЕРЛИТОМ

На процесс коррозни внешней поверхности теплопроводов влияют многочисленные факторы, в условиях подземных прокладок ими являются температура, влажность, давление водяных наров, блуждающие токи, агрессивные компоненты среды, температурные деформации. Коррознонные испытания стали производятся в предположении паименее благоприятного сочетания внешних факторов и физико-химических свойств материала тенлоизоляции. Покрытие должно обладать достатично высокой стойкостью, чтобы в условиях эксплуатации обеспечить надежную защиту труб в течение всего срока службы тепловой сети. Естественно, что определение опасности коррозни грубопроводов тепловых сетей, находящихся в условиях длительной эксплуатации, возможно лишь путем проведения ускоренных испытаний с использованием различных эксиресс-методов. Такие испытания требуют, в свою очередь надежного конгроля над всеми параметрами, что возможно только в лабораторных условиях. Эти соображения должны быть учтены в метолике проведения коррознонных испытаний.

Теоретический анализ влияния процессов персиоса на скорость коррозии наружной поверхности теплопроводов позволяет сформулировать некоторые положения, являющиеся исходными при определении методики коррознонных испытаний стали в контакте с автоклавным ненобетоном и битумонерантом. К этим положениям относятся:

- 1. Создание определенного температурного градиента, обеснечиваечого наличием внутреннего обогрева.
- 2. Создание определенного динамического температурного режима (суточные колебания температур в днаназоне от 30 до 75 С).
- 3 При молелировации условий работы трубопроводон бескапальной проводки должна быть выбрана относительная высокая влажность грунта, контактирующего с теплоизоляцией, что затрулняет высыхание теплоизоляционного похрытия.
- 4. Исходя из закономерностей усреднения и характерных размеров пор ненобетова и битумонерлита, необходимо установить определенную минимальную толщину теплоизоляции (~30 мм).
- 5 Для имитации естественных повреждений в гидроизоляции, на поверхности воследней должны быть сделаны вырезы, общая площадь которых должна составлять не менее 1% от поверхности.

- 6. Для моделирования электролита должны применяться растворы, имптирующие грунтовые воды.
- 7. Для увлажнения теплоизоляционного покрытия можно использовать экспресс-метод —увлажнение под вакуумом.

Для проведения коррознонных испытаний, моделирующих условия работы теплопроводов с пенобетонной изоляцией, в качестве обранцов использовались цилиндрические стальные патрубки (днаметром 32 и длиной 110 мм), на поверхность которых наносился слой пенобетона толшиной 30 мм.

Перед нанесением пенобетонной теплоизоляции патрубки пцательно зачищались шлифовальной бумагой, обезжиривались ацегоном в взвенивались на аналитических весах. Общий вид образцов представлен на рис. 1. Часть образцов, подвергнутых испытаниям, имела гидро изоляционный слой из бризола с имитацией естественных повреждений в виде прямоугольных вырезов общей площадью 3 см² (1% поверхности гидроизоляции).

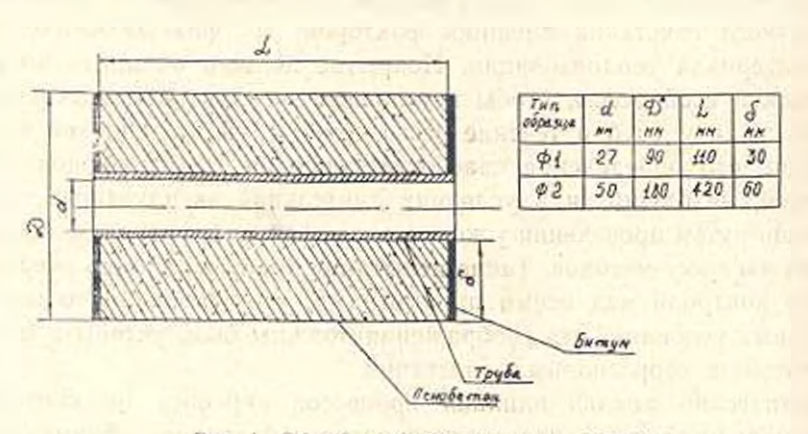


Рис. 1. Общий вид образцов и их размеры

Коррозновные испытання подготовленных таким образом образцов проводились на специальном стенде (рис. 2). Требуемый температурный режим создавался либо путем внутрениего электрического нагрева, либо им тем подачи через внутреннюю полость патрубков масла, подогретого до необходимой температуры. Для воспроизведения динамического температурного режима были приняты два крайних значения температуры: 30 в 75°С. Динамический режим реализовался путем выключения термонагревателей в почное время. Влажностный режим воспроваводился с учетом условий работы теплоизоляционных конструкций. Обранцы с непобетонным нокрытием помещались в ячейки, заполненные неском 8-10% влажности (по весу) или водой. Влагосодержание пенобетона в первом случае обуславливалось с одной стороны температурой поверхности металла, с другой стороны-влажностью песка, и составляло вблизи поверхности металла 10-15% (по весу). Влажность периферийного слоя ненобетона составляла 35-40%. Во ятором случае влагосодержание ненобетона достигло нолного влагонасыщения.

Для моделирования блуждающих токов на процесс коррозии теплопроводов бескапальной прокладки, образцы с пенобетонным теплоизоляционным нокрытием были подвергнуты аподной поляризации. При этом величины токов были заданы в соответствии с реальными значенияма токов утечки с единицы поверхности подземных металлических сооружений.

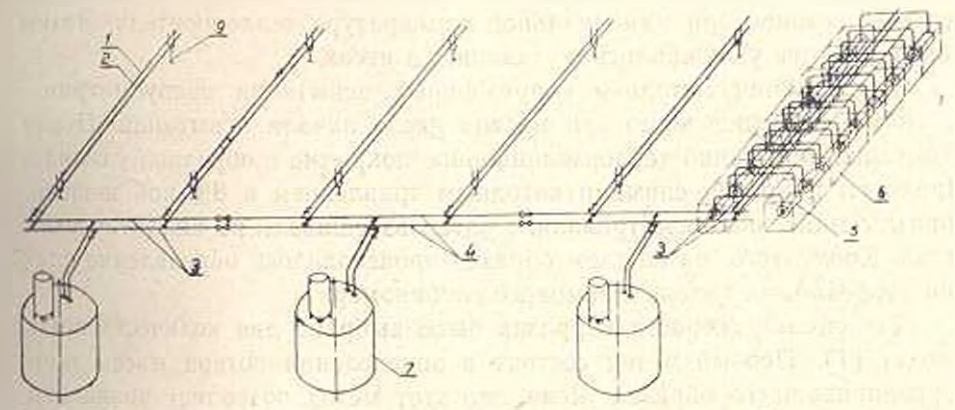


Рис 2. Схема стенда для коррозионных испытаний образцов. *1*—Коллектор ячеек подающий, 2 Коллектор ячеек образцый; 3 Коллектор распределительный; 4 Коллектор средний; 3—Образец; 6 Ячейка; 7- Термостат; 8—Кран. 9—Стойка

Пля проведения коррозновных испытанки, моделирующих условия: работы теплопроводов с битумоперлитной изоляцией, в даборатории НИИМосстроя были изготовлены образцы в форме цилиндрических натрубков с наружным днаметром 32 мм и длиной 110 мм. на натрубки наносился битумоперлит методом осевого прессования в одиночных инлинарических формах. Битумоперлитная масса готовилась вручную, Было изготовлено 30 образцов с объемным весом у 400 кг/м3 и 30 образцов с объемным весом ; = 600 кг/м3. На патрубки предварительно с висшией стороны напосилось два слоя битумного праймера. Внутренняя сторона натрубков покрывалась краской ВН-30 для предотвращения коррозни в процессе пспытаний. На 20 образцах (, 400 кг/м³) были панесены гидроизоляционные слоп (два слоя изоля по битуму). На образны с $\gamma = 600~\kappa z/m^3$ была нанесена стеклоткань по мастике БЛК. Часть образцов содержала 7%-ную добавку в материале тенлоизоляини. В гидроизоляционном покрытии 20 образцов с ; 400 кг/м3 были следаны повреждения:

- а) на 16 образцах (№№ 34; 4; 53; 17; 12; 18; 19; 15; 24; 3; 5, 6; 11; 33; 80) четыре прорези размером 5×15 мм по две с днаметрально противоположных сторон;
- б) на двух образцах (№№ 30: 13) была снята одна торцевая поверхность гидроизоляции для имитации концевого участка теплоизоляции;
- в) на явух образцах (№№ 1; 31) сделаны по две прорези в материале теплоизоляции до патрубков для имитации трещии в изоляционной конструкции.

Коррознонные испытання стальных образцов с битумонерлитной изоляцией проводились по той же методике, что и испытания образнов с непобетонной изоляцией. Однако были и некоторые оосбенности. В частности, 8 образцов с битумонерлитной изоляцией педвергались предварительному нагреву в течение 120 часов до температуры 150°С. Это было сделано для имитации работы покрытия в течение двух отопительных сезонов при максимальной температуре теплоносителя. Затем образцы вновь увлажнялись и ставились и несок.

Описываемая методика коррознонных испытаний предусматривает сиятие образцов через три месяца после начала испытаний. После окончания испытаций теплоизоляционное покрытие с образцов удаляли. Продукты коррозии синмали католным травлением и 8%-ной щелочи, образцы пцательно осматривали, а затем взвещивали на аналитических весах. Кроме того, на каждом образце производилось определение глубии коррозийных кавери с помощью глубиномера.

Для оценки скорости коррозни было выбрано два количественных метода [1]. Первый метод состоит в определении потери массы прокорролированшего образца. Ясно, что этот метод позволяет правильно оценивать скорость коррозновного процесса только при равномерной коррозии. В действительности, однако, коррозновные разрушения как на образцах с пенобетонным покрытием, так и на образцах с битумоперлитным покрытием, имеют вид питтингов и язв. Поэтому правильнее коррозионную опасность оценивать по максимальной глубине коррозии В сущности срок службы теплопровода зависит от наибольшей глубины коррозновных попреждений, которые определяют время появления сквозных разрушении, приводящих к авариям на теплопроводах. Первый метод (по потере массы) дает интегральное представление о процессе коррозии и не требует специальной математической обработки. Однако. он является более чувствительным к влиянию на скорость процесса различных факторов. Поэтому, наряду с определением максимальных глубии коррозионных кавери, этот метод необходимо использовать при коррознонных испытаниях.

Результаты коррозионных испытаний стали и контакте с автоклавным ненобетоном представлены в таблицах 1 и 2. Было установлено, что наибольшая скорость коррозии возникает при испытании образцов с ненобетонным покрытием в увлажиенном неске. В этом случае наблюдается довольно значительные потери массы, а средний по моде максимум коррозионной каверны составляет 0,20 мм за время испытаний Испытания, проведенные на образцах в ячейках, заполненных водой (табл 2), показали, что скорость коррозии в этом случае значительно ниже, чем при испытаниях в неске 8—10% ной влажности при прочих равных условиях (средний по моде максимум коррозийной каверны составляет 0,06 мм). Такой результат виолие соответствует теоретическим предпосыдкам, так как в этом случае генлоизоляция находится в условиях полного водонасыщения. Приведенные данные по скорости

коррозии в условиях, имитирующих наиболее опасные условия эксплуатации геплопроводов, достаточно велики.

Таблица I Карразновное состояние образнов, взолированных ненобетоном, после трех месяцев испытании в иске влажиостью 8 ; 10% при I = 75°C

№ О^разца	Потери мас- сы, г д.и²	Максимальная глу- бяна кавериы, мм	№ Образца	Потери мас- сы, г/дле-	Максимальная глубина кавер- ны, ми
337 342 379 366	1 •2443 4 •1501 2 •0000 2 •0027	0.28 0.23 0.15	373 333 345	2+2529 1+7124 5+1042	0+20 0+19 0+21

Taônana 2

Коррозновное состояние образнов, изолированиях непобетоном, поеле трех месяцев испытаний в воде при t = 75°C

№ Образца	Потери массы, г/дм²	Максимальная глу- бина каверны мли
87	0.3249	0.11
162	0 - 4164	0.02
35	0 -5443	80.0
203	0.2867	0+05

В экспериментах с образцами, подвергнутыми аподной поляризации, нас главным образом интересовал вопрос об адгезии ленобетонного покрытия к металлической поверхности.

Известно, что в аподных зонах железобетонных сооружений из илизиого бетона наблюдается разрушение бетонного покрытия. Так как илотный бетон очень плохо работает на растяжение, то растягивающие напряжения приводят к возникновению трещин в бетонном покрытии. В непобетонс, имеющем множество сообщающихся между собой пор, продукты коррозии могут выступать на наружную поверхность образцов. Испытания, проведенные нами на образцах с пенобетонной теплоизоляцией, при плотности тока до 30 ма/дм² показали, что трещии в пенобетонном покрытии не наблюдается, сценление пенобетона с металлом не ухудивается, продукты коррозии вдавливаются внутрь ненобетона и через отдельные поры выходят на новерхность.

Результаты коррознонных испытаний стали в контакте с битумоперлитом представлены в таблицах 3 : 5. Основной особенностью битумонерлитного покрытия является его неоднородность по объемному вссу, что связано как со структурной неоднородностью самого битумоперлита, так и с технологией его нанесения. Это приводит к ярко выраженному локальному характеру коррозни стальных образнов под слоем влажной битумоверлитной изоляции.

Развитие локальных коррозионных порреждений обычно имеет место на участках с меньшим доступом кислорода, игразощих роль анодов локальных гальванических элементов. В условиях эксплуатации теплопроводов перавномерная аэрация может усиливаться за счет контакта теплоизоляции с почвами различной структуры, что не могло быть учтено при проведении испытаний.

Второй особенностью битумоперантного покрытия является наличие битумного праймера Битум, являющийся сложной коллондной системой, в зависимости от температуры нагрева резко меняет свои структурно-механические свойства, проходя стадии от твердообразного до жидкообразного состояния с различной степенью структурирования.

Коррозновное состояние образцов, изодированиях битумоперантом

Тоблица 3

. 100 кг/дз, после грех месяцев пенытаний в пееке влажностью 8 : 10% при г 75 C

Обранца	Почери мас- см, г:дм²	Максимальная глу- била каверны, м.ч	№ Образца		Максимальная глубина кавер- ны, мм
.30	0.0025	0.55	53	0 -4000	0.63
13	0 (2600 0 (0382	0,17	12	0.4400	0.27
31	0+1900	0.29	18 19	0.1466 1.2400	0.08
34	0+0626	0.10	3	0.7088	0.15

Тиблица 4 Корродновное состояние образцов, изолированиях битумоперавиом ... - 600 ке/м⁴. после трех месяцев испытаний и песке влажностью 8-10 %, при f - 75°C (с предварительным подогреном до 150°С)

№ Образка	Потери мас- сы, г∂.и-	Максимальная глу онна каверны, м.м №		потери мас-	Максимальная глубии і кавер- ны, лум
20°	9.4639	0+35	41	0.8324	0:32
83°	7.9316	0+41	109	2.2012	0:22
20	2.0124	0+30	35	0.0012	0:02
32	1.7312	0+13	43	1.5576	0:33

Как следует из реограммы для бятума марки БН IV при температуре 150 С [2] наименьшая вязкость предельно разрушенной структуры $\gamma_m = 2.8$ пуаз, а наибольшая вязкость практически перазрушенной структуры то = 16.8 пуаз. Эти значения предельных вязкостей оказываются достаточно малыми для течения битума под действием градиента температур. Как показали проведенные нами испытания, на праймированных образцах, полвергавшихся предварительному прогреву до температуры 150 С, остаются лишь следы праймера. На образиах, не полвергавшихся предварительному прогреву до 150 С, праймер сохраняется. Пленка праймера, однако, не может служить антикоррознонным покрытием, так как в ней образуются разрывы, видимые в микроскои. На металлическом образце, покрытом такой пленкой, легко промеряется стационарный потенциал, что однозначно свидетельствует о протекании коррозионного процесса.

Tahanya 5

Коррозновное состояние образцов, изолированиях битумоперантом $\gamma = 600~\kappa e/n^4$, после трех месяцев испътания в песке влажностью 8—10% при $z = 75^{\circ}\mathrm{C}$

2*	0,5988	0.07	147	0+9300	0.48
28*	1,7840	0.41	174	9+3438	0.36
14	0,0810	0.25	95	0+9462	0.76
102	0,3440	0.20	135	1+7390	0.51

Наличие праймера на непрогревавшихся образцах оказывается лишь на величине потери массы, по не на глубине коррознонных кавери. Это обстоятельство позволяет проводить усреднение по глубинам коррознонных кавери одновремению как на прогревавшихся образцах, так и на образцах, не подвергавшихся предварительному прогреву до температуры 150°С. Значения среднего но моде максимума глубины каверны на образцах с битумоперлитным покрытием при объемных весах 400 и 600 кг/м³ почти не отличаются между собой (составляют порядка 0,3 мм), но они выше, чем на образцах с пенобетонным покрытием. На контрольных образцах с битумоперлитным покрытием, находившихся в течение всего срока испытаций в стационарном режиме при температуре 20°С, средний по моде максимум глубины каверны равен 0,13 мм, что вполне соответствует теоретическим предвосылкам.

Для реальных разностей потенциалов между теплопроводом и землей ($\sim 1.5:2$ в), принятых при проведения испытаний, вклад анодной поляризации в средний максимум глубия кавери составил 0.15 мм за период испытаний.

На образнах с битумоперлитной теплоизолянией, содержащей 7% гидроокией натрия, были обнаружены лишь следы коррозии; отсутствие коррозионных поражений связано е высокими значениями рН теплоизоляционного электролита, контактирующего с металлом, что обеспечивает образование на металле нассивирующего слоя После грехмесячных испытаций величина рН оказалась 10 -- 10,5, что указывает на протекание процесса карбонизации и на возможное нарушение нассивного состояния стали. Следует также отметить, что испытация проводились в среде, содержащей по 100 мг/л SO и CI.

[•] Образцы, подвергнутые анодной поляризации

При более высокой концентрации хлоридов или сульфатов нозможен «пробой» пассивирующего слоя, результатом чего будет питтинговая коррозия металла. Другим фактором, вызывающим «пробой» пассивирующего слоя, может быть аподная поляризация.

В связи с изложенным, коррозновные испытация стали в контакте с битумоперлитом, содержащим компоненты, приводящие к повышению pH теплоизоляционного электролита, должны быть продолжены.

Выводы

- 1. Сталь в контакте с пенобетоном в битумоперлитом в условиях переменного температурно-влажностного режима подвергается интенсивной коррозии. За период испытаний средний максимум глубины коррозионных ковери составил:
 - 0,2 мм на образцах, изолированных автоклавным ненобетоном; 0,3 мм на образцах, изолированных битумонерлитом.
- 2. Сталь в контакте с увлажненным пенобетоном и битумонерлитом в стационарных условиях (при температуре 20°С) также подвергается коррозии: 0,08 и 0,12 мм за период испытаний соответственно для пенобетона и битумоперлита.
- 3. Битумоперлит, в отличие от ненобетона, обладает существенной структурной неоднородностью, что приводит к ярко выраженному локальному характеру коррозии.
- 4. Увлажненный пенобетоп и битумоперлит являются проводящими средами, и в случае аподной поляризации происходит активное растворение стяли. Для реальных разностей потенциалов между теплопроводом и землей, принятых при проведении испытаний, вклад аподной поляризации в средний максимум глубин коррозпонных кавери для битумоперлита составил 0,15 мм за период испытаний.

Академия коммунального хозяйства им. К. Д. Памфилова

Поступило 1.1У.1974.

Վ. Ս. ՎՈՂՈՍՑԱՆ, Մ. Ա. ՍՈՒՐԻՍ, Է. Բ. ՖԻՆԻՆԵՇՏԵՅՆ

ՊՈՂՊԱՏԻ ԿՈՌՈԶԻՈՆ ՓՈՐՁԱՐԿՈՒՄՆԵՐԸ ԱՎՏՈԿԼԱՎԱՅԻՆ ՓՐՓՐԱՔԵՏՈՆԻ ԵՎ ՔԻՏՈՒՄԱՊԵՌԼԻՏԻ ՀԵՏ ԿՈՆՏԱԿՏՈՒՄ

Ամփոփում

Հոդվածում, իմտելով խոնավ փրմանեկուսիլի հետ կոնտակտում պողպատի կոռոլիայի արադուիլան վրա փոխադրման պրոցեսների այդեցու Սյան վերլուծուիլան վրա, շարադրված են ավտոկլավային փրփրարետոնի և բիտումապեոլիտի հետ կոնտակտում պողպատե փորձանմու ների կոռոզիոն փորձարկումների մեթոդիկայի հիմնական սկզբունքները։ Բեթվում են հեղինակների կողմից մշակված մեթոդիկայով կատարված փորձարկումների հիմնական արդյունքները։

ЛИТЕРАТУРА

- 1. Романов В. В. Методы исследований коррозни металлов, М., 1965.
- Каржуса А. С. Дисперсиме битумы. Госгеоиздат, 1951.

Տեխնիկական գիտութ, սեշիա 💢 📉

XXVII. No 4, 1974

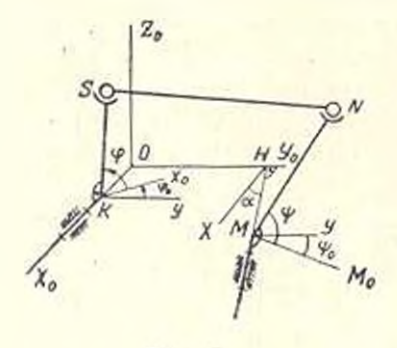
Серия технических ичук

МАШИНОСТРОЕНИЕ

К. Х. ШАХБАЗЯН, С. Б. ГАРАНЯН

СИНТЕЗ ПРОСТРАНСТВЕННОГО ПЕРЕДАТОЧНОГО МЕХАНИЗМА ТИПА ВССВ МЕТОДОМ КИНЕМАТИЧЕСКОГО ОБРАЩЕНИЯ

Пространственный четырехзвенный передаточный механизм с двумя вращательными и двумя сферическими парами (ВССВ) является одним из простейших механических устройств, реализующих функциональную зависимость между углами поворотов входного и выходного звеньев. Не нарушая общности, всегда можно принять, что ось вращения входного звена такого механизма совпадает с осью X_C принятов системы координат (рис. 1), а один из линейных параметров (в данном случае кратчайнее расстояние между осями вращения) имеен единичную длину. Таким образом, число независимых нараметров, которое необходимо определить при проектировании механизма, разпосеми (например, z_0 ; OK; SK; HM; z; z; W.



Pitc. 1.

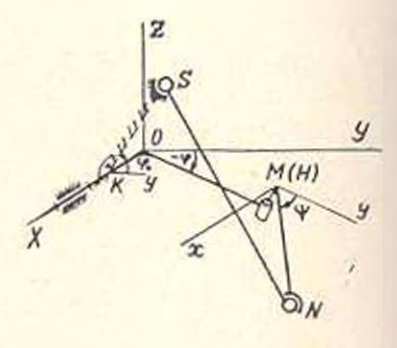


Рис. 2.

В работе [1] отмечено, что все существующие методы спитем передаточного четырехзвенного механизма типа ВССВ, за исключением метода Уилсона [2], основаны на условии замкнутости кинематической цени механизма. Наиболее полное решение указаниой задачи с применением методики кинематического обращения дано в работе [3].

В данной статье применение методики кинематического обращения иллюстрируется на примере синтеза передаточного механизматина ВССВ по няти вычисляемым параметрам.

Приводимое здесь решение отличается от решения аналогичной задачи в работе [2], в основном, тем, что благодаря целесообразному

выбору двух варьируемых параметров предоставляется возможность вместо системы четырех нелинейных уравнений решить одно квлдратное уравнение и систему трех личейных уравнений.

Постановка задачи. Требуется сконструировать пространственный

постановка задачи. Требуется сконструнровать пространственный четырехзвенный механизм типа BCCB, осуществляющий точно в

нескольких положениях функцию z = z(t).

Решение велось по следующему плану. Угол врящения входного звена считаем пропорциональным независимой переменной t, а угол врящения выходного авена—зависимой переменной z и соотнетствии с заданной функцией z=z(t).

Принимаем 4-90 , И.И=0, 20-0.

Обращаем механизм относительно некоторого положения педущего звена, определяемого углом понорота φ_0 , и производим поворот координатной системы $X_aY_aZ_a$ на тот же угол φ_a вокруг оси X_a так, чтобы стойка SK обращенного механизма составила с осью Y новой системы XYZ искомый угол φ_a (рис. 2). Тогла недущее звено ОН обращенного механизма съставит с осью Y угол $-\varphi$ (ведущее звено обращенного механизма повернуто по отношению к этому знену необращенного механизма и противоположном направлении).

По заданным значениям входного угла φ_t (t=1, 2, 3, 4, 5.) определяем значения выходного угла φ_t в соответствии с заданной функцией z=z(t).

Определяем координаты шарнирной точки М звена ОМ.

Определяем направляющие косннусы продольной оси шатуна в соответствующих положениях:

$$\cos a_l = \sin b_l \quad \cos \beta_l = \cos \phi_l \cdot \cos a_l \; ; \quad \cos \gamma_l = -\sin \phi_l \cdot \cos \beta_l. \tag{2}$$

Выражаем координаты шаринриой точки N через неизвестную длину шатуна (MN=x), т.е.

$$N_{tx} = M_{tx} + x \cos \alpha_t \; ; \quad N_{ty} = M_{ty} - x \cos \alpha_t \; ; \quad N_{tt} = x \cos \gamma_t \; . \tag{3}$$

Если координаты центра вращения шаринрной точки N обозначить через X,Y,Z то относительно неизвестных x,X,Y,Z получим систему:

$$B_{j}xX + (C_{j} + xD_{j})Y - (Q_{j} + xF_{j})Z + xE_{j} = 0$$

$$(j=2,3,4,5),$$

решение которой приводим к определению корней квадратного ураввения

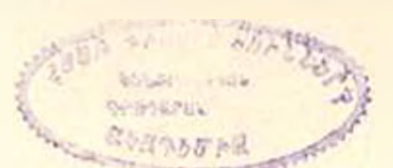
$$p x^2 - g x + k = 0,$$

после чего из грех уравнений системы (4), как из линейной системы, определяем значения неизнестных X,Y,Z (вывод уравнений (4), (5) и значения коэффициентов приведены в [4]).

По формуле

$$\lg \varphi_0 = Z/Y \tag{6}$$

с учетом знакон при У и Z определяем значение плчального угла 🖦



Определяем длины зненьев:

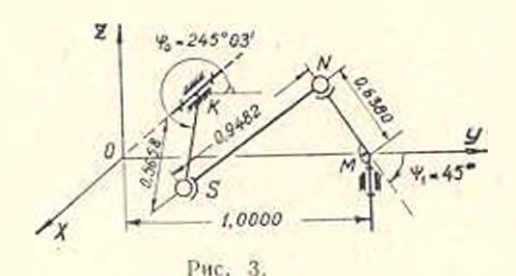
$$SK = \sqrt{Y + Z^2}; \quad SK = \sqrt{(N_{1x} - X)^2 + (N_{1y} - Y)^2 + (N_{1z} - Z)^2}, \quad (7)$$

Так как уравнение (5) в общем случае имеет два кория * ($x = x_1$, $x = x_2$), то для каждого из вычисленных выше величии получим два значения и, следовательно, два механизма, удовлетворяющих условиям поставленной задачи. Из них выбирается конструктивно более целесообразный механизм.

Поставия найденный механизм при входном угле за звено О.М., получим исходное положение искомого механизма.

Пример. Пусть требуется при входных углах y (t=1,2,3,4,5) соответственно получить следующие значения выходного угла y

71	0°	22°,5	45	67',5	135°
9ý	45	61°,875	82 ,5	106°,875	135°



Решение примера дает следующие результаты: $x=x_1=-0.637994$; $x=x_2=5.231130$;

MN = 0.637994 (длиня шатуна, при которой получается более компактный механизм);

$$X = -0.325473$$
, $Y = -0.238665$; $Z = -0.512979$; $NS = 0.948234$; $KS = -0.565781$; $V = -0.325473$.

Полученный механизм изображен на рис. 3.

ЕрГУ

Поступило 30 X1.1973.

^{*} Если дискриминант отрицательных, то следует варынровать значением одното из выбраниых параметров.

4. W. BUZPUSUV. U. P. SUPUVSUV

ՏԱՐԱԾԱԿԱՆ ՓՈԽԱՆՑԻՉ *BCCB* ՄԵԽԱՆԻԶՄԻ ՈՒՆԹԵԶԸ ԿԻՆԵՄԱՏԻԿ ԴԱՐՉԵԼԵՈՒԹՅԱՆ ՄԵԹՈԳՈՎ

Ամփոփում

Հոդվածում ցուցադրված է կինևմատիկ դարձելիության սկզբունքի կիրառման ժեթոդիկան՝ տարածական փոխանցիչ BCCB մեխանիզմի սինքնվ. ման խնդրի դրվածքը շարժական կոորդինատային սիստեմում որոշակի կետեր դանելու խնդրին բերելու համար։ Վերարտագրման ֆունկցիայի տրված հինգ արժեքների դեպքում սինքեզման հաշվարկային հավասարումների ոչդծային սիստեմի լուծումը հանդեցված է մեկ քառակուսի և երեք դժային հակասարումների սիստեմի լուծման, քերված է նկային օրինակ։

ЛИТЕРАТУРА

- Су. Проектирование пространственных механизмов для функциональных устройств.
 Тр. американского общества ниженеров-механиков Серия В, № 3, 1968.
- Уилсон Аналитический кинематический синтез механизмон посредством конечных перемещений. Тр. американского общества инженеров-мечаников. Серия В. № 2, 1965.
- 3. Рос. Теория конечных положений в применении к синтелу механизмон. Гр. американского общества инженеров-механикор. Серия E. № 4, 1967.
- Шахбазян К. Х., Гаранян С. Б. Синтез одноконтурного пространственного питизвенного механизма по известимм дискретимм воложениям шатунной точки.
 «Изв. АН АрмССР, механика», т. XXV, № 1, 1972.

Տեխնիկական գիտութ. սեշիտ XXVII, № 4, 1974

Серия технических наук

МАШИНОСТРОЕНИЕ

А. П. БЕШЕТЯ, Г. П. ВАРЛАМОВ

О ПОСТРОЕНИИ СТАЦИОНАРНЫХ РЕЗОНАНСНЫХ РЕЖИМОВ ВИБРАЦИОННОЙ ПЛОДОУБОРОЧНОЙ МАШИНЫ

В настоящее время вибрационный способ съема плодов нашел широкое применение. Лостаточно полно изученя физика процесса и исследованы его амилитулно-частотные режимы. Среди всех возможных таких режимов, путем многочисленных опытов, отбирают наиболее подходящие, без достаточно полного теоретическоги исследования. Проведение такого исследования рабочих колебательных режимов позволит, из мнению авторов, более строго обосновать основные положения при проектировании рабочих органов машин и задания им оятимальных эксплуатационных режимов работы.

В данной статье, на основе асимптотических методов теории нелинейных колебаний, определяется резонансная зона процесса колебаний плодом, и области которой развиваются наибольшие амплитуды колебаний, вызывающие значительное увеличение лициинческих сил отрыва.

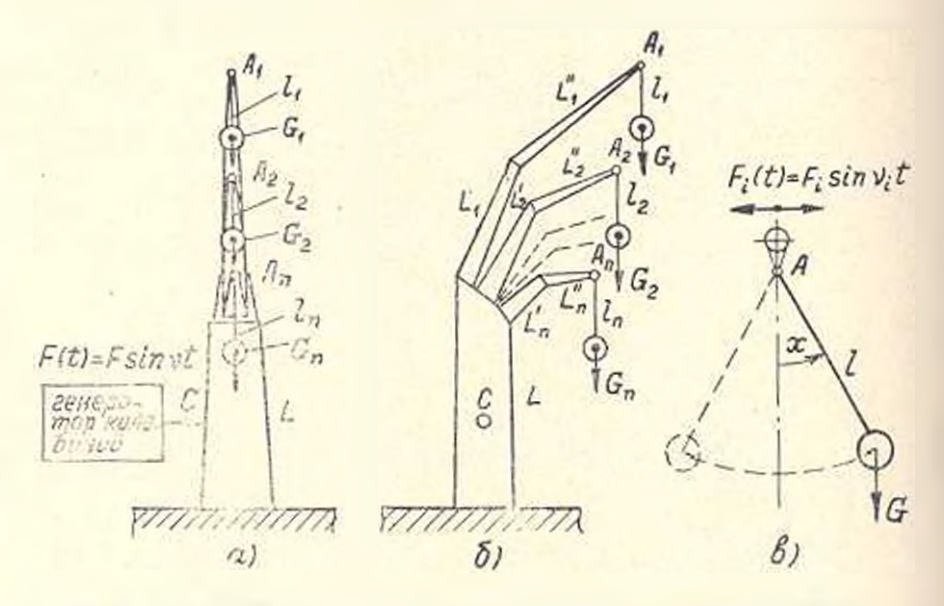


Рис. 1. Идеализированиан модель исследуемой колебательной системы

Исследуемая физическая модель колебательной системы показана на рис. 1. Элементы L и L L $(i=1,2,\ldots,n)$ соединены между

собой жестко. Материал этих элемент в однороден. В точке C к системе приложена внешняя возмущающая сила F(t)—Fsin d. Элементы системы L/L обладают определенной жесткостью, следовательно, колебания, сообщаемые генератором колебаний (Γ К) элементу L (рис. 1, a), будут распространяться вдоль элементов L—L13 рис. 1, a видно, что Γ К воздействует на систему таким образом, что окончания A_1 , A_2 , ..., An—последовательно—соединенных элементов L1 L1, L2, ..., L3 совершают колебания в горизонтальной плоскости.

По результатам обработки материалов скоростной киносъемки эти колебания можно считать гармоническими. Являясь точками подвеса для тел G_1, G_2, \ldots, G_n , эти охончания сообщают этим телам гармонические колебания в вертикальной плоскости, как показано на рис. 1, в. Полагая соединения в точках A_1, A_2, \ldots, A_n шариирными, а элементы I_1, I_2, \ldots, I_n невесомыми, I_1 ую оконченную колебательную систему A_1, I_1, G_1 можно представить как математический маятник. Таким образом, гармонические колебания точьи подвеса A_1 в горизонгальной плоскости сообщают колебательные движения телу G_1 системы A_1, I_1, G_1 с определенной частотой у и амплитудой x в вертикальной плоскости [4].

Условие резонанся для колебательной системы в общем случае записывается в виде

$$w = \frac{p}{q} \gamma. \tag{1}$$

где — собственная частота колебательной системы; у — частота внешней возмущающей силы (ГК); р и д — взаимно простые числа.

В данной работе мы ограничиваемся рассмотрением основного резонанса, когда p = q = 1. Следовательно, условие резонанса принимает вид:

или, что все равно, $\phi = d + \Theta$, гле $\phi = \omega t$, а Θ - полный фазовый угол.

Прежде, чем приступить к поиску резонансной области, отметим одно обстоятельство. В силу переменного по длине сечения элеменгов L, L, их жесткость также переменна (материал однородный). Поэтому амилитуда и частота точек подвеса A_i будут отличаться от соответствующих параметров колебания в точке C. Допустим, что и нашем распоряжении имеются передаточные отношения W_i , которые получаются по формуле

$$W_i = W_L + W_{L'} + W_{L'_i}, \tag{3}$$

где W_L , W_L , W_L — передаточные отношения соответствующих элементов. Значения W_L определяют экспериментально—после обработки результатов скоростной киносъемки.

С учетом передаточного отношения W . можно искать условие резонанса в виде (2). Не ограничивая общности, положим, что $W_1 =$ =1, так как всегда можно учесть любое другое значение W_{L} .

Уравнение движения для 1-ой оконченной колебательной системы имест вид [1]:

$$m_t l_t \frac{d^2x}{dt^2} + L \frac{dx}{dt} + m_t g \sin x = W F \sin v t, \tag{4}$$

где m_i — масса тела G_i ; l_i — длина подвеса; ℓ — коз. h фициент демпфирования (+>0); х угол отклонения системы от вертикали (рис. 1,в). С учетом $W_{I} = 1$, обозначая

$$F = x.G_L$$
, (5)

|где $G_1 = m_i g$ — вес плода; s — положительное число (s = 0, 1 - 0, 3)| и опустив индексы, получаем уравнение в виде:

$$mt\frac{d^2x}{dt^2} + i\frac{dx}{dt} + mg\sin x = smg\sin yt.$$
 (6)

Ограничинаясь рассмотрением режимов колебаний с амплитудой $x \leqslant 45^{\circ}$ $(x \le 0.8 \text{ рад})$, можем в этом уравнении произвести замену

$$\sin x - x - \frac{1}{6}x^3,$$

Тогда уравнение (6) принимает вид:

$$L\frac{d^2x}{dt^2} + \frac{\lambda}{m}\frac{dx}{dt} + g\left(x - \frac{1}{6}x^2\right)Sg\sin yt. \tag{7}$$

В полученном уравнении левая часть описывает свободные колебания системы с мягкой кубической характеристикой восстанавливающей силы и демифирующим членом $\lambda = \frac{dx}{dt}$. Для исследуемых систем коэффициент затухания $\ell = 0.2 \div 0.8$.

Для определения резонансной зоны, на основе асимі готических методов, изложенных в работе [2], преобразуем (7), приведя его к соответствующему виду следующей заменой переменных:

$$x_1 = x/\sqrt{6}; \qquad z = t\sqrt{g/t}, \tag{8}$$

После несложных прообразований, сохрания прежние обозначения, получаем уравнение в виде:

$$\frac{d^2x}{dt^2} + x = x^3 - \frac{\partial dx}{\partial t} + Q \sin t. \tag{9}$$

The
$$i = \frac{i}{m\sqrt{l}\sigma};$$
 $Q = \varepsilon M = s/\sqrt{6}.$

где

В системе AlG трение и амплитуда возмущающей силы незначительны, т. е. о и Q имеют порядок малости $0 < \varepsilon - 1$, а характеристика нелинейной восстанавливающей силы достаточно близка к линейной. Тогда, согласно [3], члены правой части уравнения (9) можно представить в виде:

$$x^3 - b \frac{dx}{dt} = \epsilon f(x; \frac{dx}{dt}); Q = \epsilon M = s/\sqrt{6}.$$

Таким образом, уравнение (9) допускает анализ методами, изложенными в [2] и [3].

Для случая основного резонанся решение уравнения (9) в первом приближении имеет вид [2]:

$$x = a\cos(at + \Theta). \tag{10}$$

Амилитуда а и полный фазовый угол 🖯 определяются формулами:

$$\frac{da}{dt} = -\frac{1}{2\pi} \int_{0}^{2\pi} f_{0}(a\phi) \sin \phi d\phi - \frac{Q}{1+v} \cos \theta;$$

$$\frac{d\theta}{dt} = 1 - v - \frac{1}{2\pi} \int_{0}^{2\pi} f_{0}(a\phi) \cos \phi d\phi + \frac{Q}{a(1+v)} \sin \theta. \tag{11}$$

Ввелем:
$$I_e(a) = \frac{1}{\pi a} \int_0^{2\pi} f_0(a; \psi) \sin \psi d\psi; \quad k_e(a) = 1 - \frac{1}{\pi a} \int_0^{2\pi} f_0(a; \psi) \cos \psi d\psi,$$

где

 $r_e(a)$ — эквивалентный коэффициент затухания;

 $R_e(a)$ — эквивалентный коэффициент упругости.

Тогда уравнения (11) принимают вид:

$$\frac{da}{dt} = -\delta_e(a) \cdot a - \frac{Q}{1+\nu} \cos\Theta; \qquad \frac{d\Theta}{dt} = \omega_e(a) - \nu + \frac{Q}{a(1+\nu)} \sin\Theta, \quad (12)$$

$$\text{rge} \qquad \delta_e(a) - \frac{1}{2} \delta_e(a); \qquad \omega_e(a) - \sqrt{k_e(a)}.$$

Вычисляя соответствующие интегралы, получаем следующие значения:

$$k_e(a) = a;$$
 $k_e(a) = 1 - \frac{3}{4}a^2;$ $m_e(a) = 1 - \frac{3}{8}a^9.$

Тогда (12) принимают вид:

$$\frac{da}{dt} = -\frac{\delta a}{2} - \frac{Q}{1+\gamma} \cos\Theta; \qquad \frac{d\Theta}{dt} = 1 - \frac{3}{8} a^2 - \gamma + \frac{Q}{a(1+\gamma)} \sin\Theta. \quad (13)$$

Для стационарных процессов $\frac{da}{dt} = 0$ и $\frac{d\Theta}{dt} = 0$. Приравнивая правые части (13) к нулю, возводя в квадрат и складыная, получаем выражение

$$a^{2}\left\{\left[\left(1-\frac{3}{8}a^{2}\right)^{2}-v^{2}\right]^{2}+\delta^{2}\right\}=Q^{2},$$

из которого-

$$V = \sqrt{\left(1 - \frac{3}{8}a^2\right)^2} = \sqrt{\frac{Q^2}{a^2} - v^2},$$
 (14)

Соотношение для скелетной кривой имеет вид:

$$s = w_x(a) - 1 - \frac{3}{8}a^3.$$
 (15)

Результаты вычислений по соотношениям (14) и (15) для определенных параметров колебательной системы приведены в тяблицах 1, 2 и 3.

Таблица 1
Результаты вычислений для построения скелетной кривой

a	0.1	0.2	0,3	0.4	0.5	0.6	0.7	0.8
٧	0.996	0.985	0 : 967	0.940	0+906	0.865	0.817	0,760

Результаты вычислений для построения резоналеной кривой при параметрах системы: (7. 50 г; t=-c.u; -0.07; s=0.1 (кривая t на рис-2)

a	0.1	0.2	0.3	0.4	0.5	0,6	0.7	0,8
21	0.79	0.88	0,90	0.90	0.88	0.86	0.81	0.75
(4)	1.19	1.05	1,01	0.98	0.92	0.86	0.81	0,75

Ремлитаты вычислений для построения резонансной хривой при наряметрах системы: G = 50 c; G = 0.07, g = 0.

ıı	0,1	0.2	0.3	0.4	0,5	0.6	0.7	0.8
74	0.44	0.76	0 -82	0,83	0.82	0.79	0.76	0.72
72	1 - 32	1.20	1.08	1.09	0,98	0.93	0.87	0.80

Анализируя полученные кривые стационарного режима исследуемой идеализированной колебательной системы, можно сделать следующие основные выводы:

- 1. Резонансные области келебательной системы, построенные сучетом нелинейности, существенно отличаются от резонансной области в линейном случае.
- 2. Полученные кривые дают возможность задавать генератору колебаний (ГК) оптимальные частотные режимы, с учетом нелинейности процесса.

3. Из резонансных кривых следует, что с увеличением частоты Γ К, амплитула колебаний тела (плода) G вначале плавно растет, а затем в точке $D_1(D_2)$ скачком увеличивается до значения $C_1(C_2)$, а далее уменьшается по кривой $C_1E_1(C_2E_2)$. При уменьшении же частоты Γ К. амплитуда колебаний тела (плода) G растет по кривой $E_1(E_2B_2)$ до точки $B_1(B_2)$, в которой скачком уменьшается до значения $A_1(A_2)$. Учет этих факторов позволит скорректировать частоту Γ К с целью выбора оптимальных частотных режимов, обеспечивающих съем плодов при меньших энергетических затратах и облегченном режиме работы Γ К.

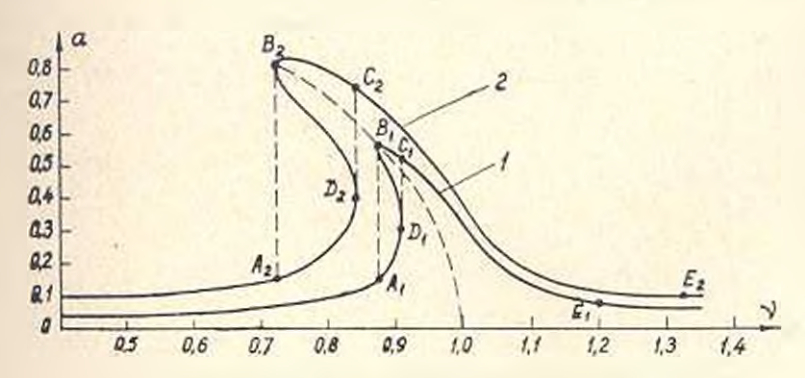


Рис. 2. Графики резонансных кривых стационарного процесса: I—при $S=0,1;\ 2$ —при S=0,2

- 4. Гривые I и 2 на рис. 2 воказывают, что с увеличением амплитуды возмущающей силы (S=0,1) и S=0,2), при прочих равных параметрах системы, резовансная область расположена выше. Это говорит о том, что соответствующим подбором амилитудно-частотных режимов рабсты Γ K можно получить остимальные условия для сиятия плодов.
- 5. Проведенное исследование резонансной области колебаний системы дает возможность подсчитать оптимальные режимы работы ГК для съема любых видов плодов, конкретные параметры (масса, длина плодоножки и т. д.) которых могут быть заложены в формулу (14).

Поступнае 10.1.1973.

U. M. Phabasu, M. M. Qualutha

ՎԻՔՐԱՑԻՈՆ ՊՏՂԱՀԱՎԱՔՄԱՆ ՄԵՔԵՆԱՅԻ ՍՏԱՑԻՈՆԱՐ ՌԵԶՈՆԱՆՍԱՅԻՆ ՌԵԺԻՄՆԵՐԻ ԿԱՌՈՒՑՄԱՆ ՎԵՐԱԲԵՐՅԱԼ

Ամփոփում

Առաջարկված է ուսումնասիրվող տատանողական սիստեմի իդեալականացված ֆիզիկական մոդելը։ Ոչ-դծային տատանումների տեսության «արմպտոտիկ մեկոդների հիման վրա ողոշված է պտուղների տատանում ների պրոցեսի այն ռեզոնանսային զոնան՝ երբ տատանումների ոչ ժեծ ամպլիտուդաներն առաջացնում են պոկման դինամիկական ուժերի մեծացում։ Պրոցեսի բնույթը ռեղոնանսային տիրույթում Տնարավորություն է ընձեռնում տատանումների ղեներատորին տալ պտուղները հավարելու համար օպտիմալ ռեժիմ։

ЛИТЕРАТУРА

- 1. Інфронов 1. 1., Витт Л. А., Хайким С. Э. Теория колебливи. Физматтив, М., 1959.
- Боголюбов И. Н., Митропольский Ю. А. Асимптолические методы и теории нелинейных колебаний. Физматия, М., 1963.
- Мигропольский Ю. А. Метод усреднении в пелинейной механике. Изд-во «Наукова думка», Киев, 1971.
- 4. Тимошенко С. П. Колебания в инженерном деле. Физматина, М., 1967.

Shirthiahas ahmaip, atehu No4, 1974

Серия технических наук

СТРОИТЕЛЬНАЯ МЕХАНИКА

т. А. ГОРОЯН

К ОПРЕДЕЛЕНИЮ ПЕРНОДОВ СВОБОДНЫХ КОЛЕБАЦИИ ЖЕЛЕЗОБЕТОННЫХ КАРКАСНЫХ ЗДАНИИ С УЧЕТОМ УПРУГО-ПЛАСТИЧЕСКИХ СВОИСТВ БЕТОПА

Анализ частотных ураниений многоэтажных каркасных адании с абсолютно жесткими ригелями, произведенный нами в [1], показал, что при равенстве масе (m), сосредоточенных в уровиях перекрытий, и жесткостей этажей имеет место липейная зависимость периода r-ой формы свободных колебаний (T_r) от числа этажей (n):

$$T_r = 2 = (A_r + mB_r) \sqrt{m/a}. \tag{1}$$

Здесь $a=12\,E\,I\,I^2$ — жесткость этажа (где I —высота этажа, EI сум-марная насибная жесткость всех стоек этажа); A_r и B_r — безразмерные коэффициенты, зависящие от тона колебаний, при a= const $A_1=$ 0,367, $A_2=$ 0,160, $A_3=$ 0,118, $B_3=$ 0,633, $B_2=$ 0,210, $B_3=$ 0,126.

При неизменных геометрических размерах стоек всех этажей условию a = солst соответствует постоянство модуля упругости стоек (Е) по высоте здавия, т. е. независимость величины Е от уровия напряженного состояния. Это справедливо при выполнении каркаса в металле. В случае же железобетонного каркаса Е соля по высоте здания, так как в бетоне, как в материале упруго-пластическом, имеет место нелинейная зависимость между напряжениями и леформациями. Поэтому результаты, получение в [1], не совсем приемлемы для железобетонных каркасных зданий.

Экспериментальная проверка формулы (1), проведенная В. А. Закарином [2] путем натурных намерений периодов более чем 60 железобетопных многоэтяжных каркасных зданий, возведенных в г. Еревие, показала, что измеренные периоды колебаний превышают вычислению на 20—30%. Это приписывается нелинейной работе материала конструкции.

В настоящей статье приволятся результаты анализа частотных урявнений многоэтажных железобетонных каркасных зланий с абсолютно жесткими ригелями при учете упруго-пластических свойсти бетона, г.е. при нелинейной работе материала стоек.

Кяк и в [1], динамическая расчетная схема здания представляется в виде невесомого консольного бруса, несущего п масс, сосредоточенных в уровнях перекрытий (рис. 1). Зависимость касательного модуля упругости бетона (E_6) от уровня напряженного состояния принимается по известной формуле Л. И. Онищика:

$$E_6 = \left(1 - \frac{z_6}{1.1 R_{\pi\pi}}\right) E_6$$
. (2)

где σ_6 напряжение в бетоне: $R_{\rm пр}$ —призменняя прочность бетона; E_6 — начальный модуль упругости бетона (нормативная величина модуля упругости).

Допуская, что при абсолютной жесткости ригелей все стойки рамного каркаса центрально сжаты , и принимая равенство сосредоточенных масс $(m_1 = m_2 = \ldots = m_n = m)$, нормальная сила на уровпе \hbar -го этажа будет:

$$N_k = (n-k+1) m_k$$

а сжимающее напряжение в бетоне стоек k-го этажа, пренебрегая их собственным весом.—

$$a_{n}=\frac{(n-k+1)mg}{F}$$

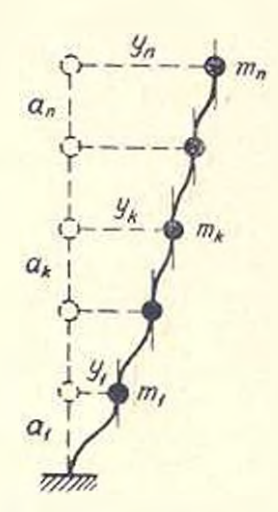


Рис. 1. Расчетная схема заяния

где I - суммарная приведенная площадь сечения всех стоек этажа.

Если конструкция запроектирована рационально, то и стойках первого этажа должно быть полностью использовано расчетное сопротивление бетона на сжатие. Тогда

где K_0 — коэффициент однородности бетона. Следовательно,

$$N_1 = n m g = K_6 R_{\odot} F$$
 $n R_{\odot} = \frac{n m g}{K_6 F}$

Подставляя значения s_{np} и R_{np} в (2), получим:

$$E_{6k} = \left[1 - \frac{K_6 (n - k + 1)}{1.1 n} \right] E_6 , \tag{3}$$

k = 1, 2, ..., n.

Поскольку для бетонов марок 200 и выше $K_6 = 0.55 - 0.60$ [4], то для упрощения задачи принимаем $K_6 = 0.55$. Тогда (3) запишется в виде:

[&]quot; В этом нет большой погрешности, так как при поговной жесткости ригели, втрое больше суммарной погонной жесткости стоек, примыкающих к узлу, ригель может рассчитываться как неразредная балка на шарнирных опорах с упругой заделкой его и крайние стойки [3].

$$E_{6\lambda} = \frac{n-k-1}{2n}E_{\delta} \tag{4}$$

Используя (4), жесткость k - 10 этажа будет:

$$a_k = \frac{12E_{6k}I}{l^2} = \frac{12E_6I}{l^2} = \frac{n-k-1}{2n}$$

Но $12E_0I/I^3=a$ — это жесткость этажа при нормативном значении модуля упругости бетона, т.е. без учета его пластических свойсти, ноэтому

$$a_k = af_k. ag{5}$$

rne
$$f_k = \frac{n+k-1}{2n}$$
 $(k=1,2,\ldots,n)$ (6)

Таким образом, задача сводится к определению периодов свабодных колеблинА здания с жесткостями этажей, линейно увеличивающимися по его пысотє.

Лифференциальные ураннения движения масе" имеют вид:

$$m_k y_k + a_k (y_k - y_{k-1}) - a_{k-1} (y_{k-1} - y_k) = 0.$$
 (7)

$$(k=1,2,\ldots,n)$$

Частным интегралом системы (7) является $y_k = C_k \sin pt$, и для определения иеизвестных вмилитул G_k получлется система однородных алгебранческих уравнений:

$$-m_k p^* C_k + a_* (C_k - C_{k-1}) - a_{k+1} (C_{k+1} - C_k) = 0,$$
 (8)

$$(k=1,2,\ldots,n)$$

где р — круговая частота свободных колебаний.

При равенстве поэтажно сосредоточенных масс и учете зависимости (5) частотное уравнение—характеристический определитель матрицы системы (8)—запишется в виде:

$$\begin{vmatrix} f_1 + f_2 - \lambda & -f_2 & 0 & 0 & 0 & \dots & 0 \\ -f_2 & f_2 + f_3 - \lambda & -f_3 & 0 & 0 & \dots & 0 \\ 0 & -f_3 & f_3 + f_4 - \lambda & -f_4 & 0 & \dots & 0 \\ \vdots & \vdots & \ddots & \ddots & \ddots & \ddots & \ddots & \vdots \\ 0 & 0 & \dots & 0 & -f_{n-1} & f_{n-1} + f_n - \lambda & -f_n \\ 0 & 0 & \dots & 0 & 0 & -f_n & f_n - \lambda \end{vmatrix} = 0, \quad (9)$$

где $k=m\,p^2/a$ — безразмерная частота свободных колебаний. Оченидно, что период свободных колебаний r-ой формы будет:

$$T_r = \frac{1}{m/a}. \tag{10}$$

Здесь и далее имеются в виду малые колебания.

Используя (6), для зланий высотой до 16 этажей вычислены первые три низних кория (4) частотного уравнения (9), значения которых приведены в табл. 1. Там же приведены значения $1/\Gamma \tilde{\lambda}_i$

Таблица 1

Число этажей п	1 ψα	орма	11 ф	порма	111 (рорма
	٨	1/√∑	7.	L/VZ	7.	1/1/17
1	0+50000	1,414			-	
2	0.20943	2.185	1 - 79037	0 - 7-17	_	
3	0.11342	2.969	1.04677	0.977	2.33982	0 46538
4 5	0.07070	3,761	0 98136	1.212	1+61985	0.7857
5	0.04818	45556	0.47487	1 -451	1+18898	0.917
6	0.03490	5+353	0.34840	1 - 694	0.90095	1 -0533
	0+02643	6,161	0.26590	1,939	0.70185	1 - 1937
8	0.02070	6 4951	0.20933	2.186	0.56012	1.336
9	0.01665	7.750	0.16895	2.433	0.45638	1 - 480
10	0.01368	8 : 550	0.13915	2,681	0.37848	1.625
11	0.01141	9.350	0 - 11655	2,929	0.31867	1.771
12	0.00971	10.148	0.09902	3,178	0.27182	1 - 9180
13	0.00834	10.950	0.08516	3.427	0.23448	2.065
14	0.00724	11,750	0.07400	3,4,76	0.20428	2,212
15	0.00635	12.550	0.06490	3.925	0 - 17950	2,360
16	0.00561	13.350	0.05738	4.175	0.15892	2.508

Анализ данных табл. 1 показал, что, как и в случае зданий с равными между собой жесткостями этажей, зависимость $1 V \ell_r$ от числа этажей можно анпроксимировать линейной функцией:

$$\frac{1}{1 \, \overline{l_r}} = A_r + n \, B_r.$$

Форма колеблинй Аг Вг Вг Полици И Форма 0.620 0.794 11 форма 0.261 0.243 11 форма 0.237 0.139

 B_r Здесь постоянные A_r и B_r имеют значения, приведенные в табл. 2. При этом экстремальные погрешности анпроксимации составляют: для первой формы от -0.19 до 1.11%; для второй формы от -0.62 до 1.72%; для третьей фор-

мы— от -1.95 до 1.61%. (Эти отклонения, по-видимому, следует приписать точности произведенных вычисления.) Графики зависимости периода колебаний от числа этажей приведены на рис. 2.

Для оценки влияния нелинейной работы бетона на перподы свободных колебаний железобетонных каркасных зданий рассмотрим отношение

$$v_r = T_r/T_r$$

где T_r период r-ой формы свободных колебаний с учетом пластических свойств бетона:

 T^* —то же без учета иластических свойств бетона, т. е. определенный по |1|.

Через кории частотного уравнения выражение (11) запишется так:

$$r_r = 1 \overline{L_s^* / L_{rr}}$$

где до кории частотного уравнения без учета пластических свойств бетопа, т. е. при равенстве жесткостей всех этажей злачия; значения дриведены в [1].

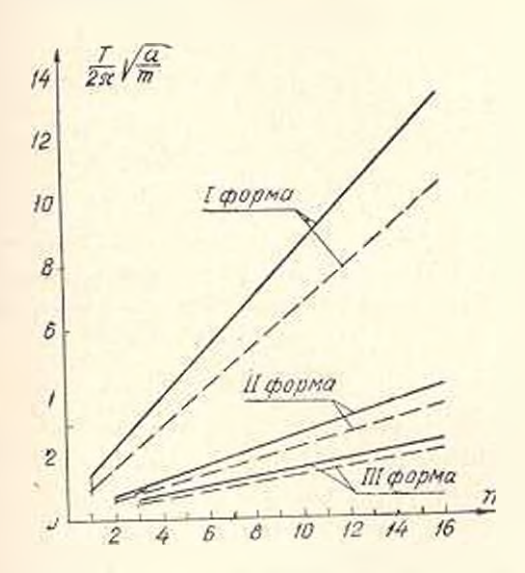


Рис. 2. Зависимости периодов свободных колебаний железобетовных каркасных зданий от числа этажей (n):

с учетом пластических свойств бетона;

— — без учета пластических свойств бетона

По значениям и (табл. 1) и данным, приведенным в [1], вычислены значения и Результаты вычислений сведены в табл. 3.

Таблица 3

n	v ₁	72	У3	n	43	7.2	ور
3 4 5 6 7 6 9	1,32 1,31 1,30 1,29 1,29 1,28 1,28	1,22 1,21 1,21 1,20 1,20 1,20 1,19	1.18 1.20 1.20 1.20 1.19 1.19	10 11 12 13 14 15	1,28 1,28 1,27 1,27 1,27 1,27 1,27	1.19 1.19 1.19 1.19 1.19 1.19	1,19 1,19 1,19 1,18 1,18 1,18

Данные табл. 3 указывают на незначительную изменчивость значений у каждой формы колебаний. При учете пластических свойств бетона периоды первого, второго и третьего тоноя свободных колебаний соответственно получаются в среднем на 28, 20 и 19% больше, чем без их учета. Это хорошо согласовывается с результатами экспериментальной проверки формулы (1) [2].

Таким образом, периоды первых трех тонов свободных колебаний железобетонных каркасных зданий (высотой до 16 этажей) с абсолютно жесткими ригелями следует определять с учетом упруго-пластических свойств бетона и с этой целью можно пользоваться формулой (1) ири значениях коэффициентов A_r и B_r , приведенных в табл. 2. При этом вычисленные я измеренные в патуре периоды будут сходны.

ЕрПИ им. К. Маркса

Поступило 22.IV.1974.

s. u. sacasus

ԻԵՏՈՆԻ ԱՌԱԶԳԱ-ՊԼԱՍՏԻԿԱԿԱՆ ՀԱՏԿՈՒԹՅՈՒՆՆԵՐԻ ՀԱՇՎԱՌՔՈՎ ԵՐԿԱԹԲԵՏՈՆԵ ԿԱՐԿԱՍԱՅԻ ՇԵՆՔԵՐԻ ԱԶԱՏ ՏԱՏԱՆՈՒՄՆԵՐԻ ՊԱՐԲԵՐՈՒԹՅՈՒՆՆԵՐԻ ՈՐՈՇՄԱՆ ՇՈՒՐՋԸ

Ամփոփում

Բետոնի առաձդա-պլաստիկական Հատկությունների հաշվառքով վերլուծության են ենքարկված բացարձակ կոշտ պարզունակներով երկաքբետոնն բազմահարկ կարկասային շենքերի փոքր տատանումների հաձախական հավասարումները՝ ծածկերի մակարդակներում կենտրոնացված մասսաների հավասարության և բոլոր հարկերի կանդնակների երկրաչափական չափերի անփոփոխության դեպքում, Բետոնի առաձղականության մուրույի կախվածությունը լարվածային վիճակի մակարդակից ընդունված է ըստ է, Ի, Օնիշչիկի (2) բանաձևի,

Վերլուծությունը ցույց է տվել, որ մինչև 16-Հարկանի երկաթեստոնե կարկասային շենբերի ազատ տատանումների պարբերությունները բետոնի առաձգա-պլաստիկական հատկությունների հաշվառումով որոշելիս կարելի է օգտվել (1) բանաձևից՝ վերցնելով նրա մեջ մտնող գործակիցների արժեջներն ըստ աղյուսակ 2-իւ հեդ դեպքում պարբերությունների հաշվարկային մեծությունները շատ լավ զուդամիտվում են Երևան քաղաքում կառուցված 60-ից ավելի երկաթեւտոնե բաղմահարկ կարկասային շենբերի տատանում-ների պարբերությունների չափումների արդյունըների հետո

ЛИТЕР ТУРА

- 1. Гороян Т. А., Хачиян Э. Е. К изучению сейсмостойкости железобетонных каркасных зданий повышенной этажности. Доклады Всесоюзного совещания по сейсмостой-кому строительству в Алма-Ате. Ереван, 1967.
- Закарян В. 1. Экспериментальное исследование динамических характеристик зданий повышенной этажности. «Известня АН АрмССР (серия Т. Н.)», т. XXIV, № 3. 1971.
- 3. Улицкий И. И. и др. Железобетонные конструкции. Киев, 1972.
- Строительные пормы и правила. Часть 11, раздел В, глава 1. Бетоппые и железобетоппые конструкции. Нормы проектирования. (СНиП II-В, 1—62). М., Госстройиздат, 1962.

Stubblingue ghomes, obrhw XXVII. No.4, 1974

XXVII № 4. 1974 Серия технических наук

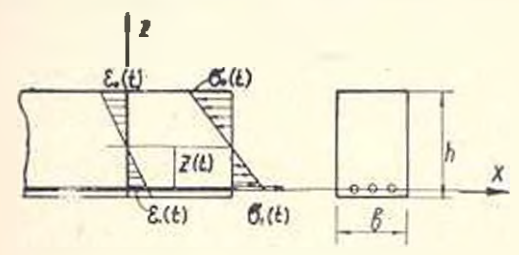
СТРОИТЕЛЬНАЯ МЕХАНИКА

Л. М. ГАГІТОВА

О ПРИМЕНЕНИИ ВАРИАЦИОННОГО УРАВИЕНИЯ КАСТИЛЬЯНО ТЕОРИИ ПОЛЗУЧЕСТИ ПРИ АНАЛИЗЕ УСАДОЧНЫХ НАПРЯЖЕНИЙ В ЖЕЛЕЗОБЕТОННЫХ КОНСТРУКЦИЯХ

В прытиже расчетов инженерных конструкций вариационные методы, основанные из теореме Кастильяно, играют важнуві привладную роль. При апализе наприженно-деформированного состояння железобетонных элементов стержневых систем с учетом полаучести бетона эти методы пока не получили применения. В настоящей работе, исходя из наследственной теории старения Маслова-Арутовина [1] и из вариационных уравнений теории полаучести [7—8], получено вариационное уравнение Кастильяно для железобетонных изгибаемых конструкции в случае учета усадли и полаучести бетона и приведены некоторые его приложения к расчету железобетонных балок. В основу работы положены гипотезы и предпосыдки, принят с внастоящее время в теории железобетонных конструкций [1—6, 9, 10] и др

1. Рассмотрим случай, когда железобетонная балка подвержена действию изгибающих моментов M(x,t), меняющихся по длине и во времени при учете усадки s(t), равномерной по длине и переменной во времени. Для конкретности сечение балки принимаем ирямо-угольным с одиночной арматурой, расположенной в растяпутой зоне. Координатные оси выбираем согласно рис. 1. гле начало координат



Piic. 1

расположено в центре тяжести поперечного сечения растянутой арматуры. Исследуем первую стадию напряженного состояния железобетонных элементов, когда в растянутой зоне трещины еще не появились. Согласно гипотезе плоских сечений для деформации бетона полагаем

$$\varepsilon(t) = A(x, t) - B(x, t)z, \tag{1}$$

где A(x, t). B(x, t)—пока неизвестные функции. Из условия совместности деформаций арматуры и соприкасающегося с ней слоя бетона имеем:

$$A(x, t) = \epsilon_1(t), \tag{2}$$

где $\varepsilon_1(t)$ — относительная деформация арматуры.

Тогда напряжения в арматуре будут: $a_1(t) = E_1 A(x, t)$, где E_2 — модуль упругости арматуры. Зависимость между напряжением и деформацией в бетоне согласно [1] имеет вид:

$$Es(t) = Es(t) + \sigma(t) + \int_{-\infty}^{t} s(\tau)K(t,\tau) d\tau, \tag{3}$$

где E- модуль меновенной деформации бетона, который для простоты принимается постоянным;

$$s(t) = s_0 \exp(-\alpha \tau_1) ||1 - \exp(-\alpha (t - \tau_1))||;$$

s₀ и 2—эксперичентальные постоянные, записящие от состава и условий твердения бстова;

$$K(t, \tau) = -E\varphi'(\tau) + E[\varphi'(\tau) + \gamma\varphi(\tau)] \exp\left[-\gamma(t - \tau)\right]; \tag{4}$$

$$\varphi(\tau) = \frac{A_1}{\tau} + C_0;$$

 $A_{\rm L}$ $C_{\rm n}$ - характеристики старения бетона. Условня равновесия рассматриваемой балки будут:

$$\int_{0}^{h} \sigma(t)bdz + \sigma_{1}(t)F_{1} = 0; \qquad \int_{0}^{h} \sigma(t)bzdz + M(x, t) = 0, \tag{5}$$

где h и b—соответственно высота и ширина поперечного сечения балки; F_1 —площадь поперечного сечения арматуры (рис. 1). Используя условия ранновесия и соотношения между деформациями и напряжениями для бетона и арматуры, после некоторых преобразований получим:

$$uA(x,t) - a_1 M(x,t) = a_2 s(t) - \int |A(x,t) - a_1 M(x,t)| |K(t,t) d\tau.$$
 (6)

Вводя функцию

$$H(x,t) = A(x,t) - a_1 M(x,t),$$
 (7)

получим:

$$H(x,t) = a_1 \left(\frac{1}{a} - 1\right) M(x,t) + \frac{a_0}{a} s(t) - s_0 \int_{-1}^{1} H(x,\tau) K(t,\tau) d\tau, \tag{8}$$

rae
$$a = \frac{3}{4}$$
 $a_1 = \frac{3}{2EFh}$; $a_2 = \frac{EF}{4}$; $F = bh$; $= \frac{EF}{E_1F_1}$.

Полученное уравнение легко свести к линейному дифференциальному

уравнению второго порядка с соответствующими начальными условия ми, решение которого имеет вид:

$$H(x,t) = \frac{a_0}{a}s(t) - a_1\left(1 - \frac{1}{a}\right)M(x,t) - \int_0^t \left[\frac{a_2}{a}s(\tau) - a_1\left(1 - \frac{1}{a}\right)M(x,\tau)\right] \times R(t,\tau)d\tau, \tag{9}$$

где $-R(t, \tau)$ —резольвента ядра $-t_0K(t, \tau)$ и имеет вид:

$$R(t, \tau) = \gamma_i(\tau) - \gamma - \Theta(\tau) \int_{-\infty}^{\infty} \exp\left[-\int_{-\infty}^{\xi} \gamma_i(z) dz\right] dz, \tag{10}$$

эдесь

$$\eta(z) = \frac{1}{2} [1 + i_0 E_{\theta}(z)]; \quad \Theta(z) = \eta(z) + \eta^2(z) - \gamma \eta(z).$$
 (11)

Внеся выражение (9) в равенство (7), найдем значение функции

$$A(x, t) = C\left\{s(t) + \frac{M(x, t)}{EW'} - \int_{t_{-}}^{t_{-}} \left| s(t) - \frac{M(x, \tau)}{EW_{1}} \right| R(t, \tau) d\tau \right\}, \quad (12)$$

rae
$$C = \frac{3}{5 + 4}$$
; $W = \frac{bh^2}{6}$; $W_3 = \frac{2bh^2}{35}$.

Используя (12), после некоторых преобразований найдем;

$$B(x, t) = \frac{M(x, t)}{EI} - d_1 s(t) - \int \left[d_2 s(\tau) R(t, \tau) - \frac{M(x, \tau)}{EI_1} R^*(t, \tau) \right] d\tau, \quad (13)$$

rae

$$I_{1} = \frac{bh^{3}}{12}; \qquad I = \frac{bh^{3}(v+4)}{12(v+1)}; \qquad d_{1} = \frac{6}{h(v+4)}; \qquad d_{2} = d_{1}\frac{v}{4};$$

$$v_{1} = \frac{3v^{2}}{4(v+4)}; \qquad R^{*}(t, \cdot) = v_{1}R(t, \cdot) + K(t, \cdot).$$

На уровне нейтральной оси $z_1(t) = z$ и между функциями A(x, t) и B(x, t) имеем зависимость

$$A(x,t) = B(x,t)z. \tag{14}$$

2. Кривизна балки через относительные деформации бетона и арматуры имеет вид: $\mathbf{x}(x,\,t)h=\mathbf{s}_1(t)-\mathbf{s}_0(t)$. Замечая, что $\mathbf{x}(x,\,t)=B(x,\,t)$. имеем

$$\mathbf{x}(x,t) = \frac{M(x,t)}{EI} - d_1 s(t) - \int \left| d_2 s(\tau) R(t,\tau) - \frac{M(x,\tau)}{EI_1} R^*(t,\tau) \right| d\tau. \quad (15)$$

Сумма работ вариации внешних и внутренних сил на действигельные перемещения в момент времени / равна пулю, тогда

$$\int x(x,t) \delta M(x,t) dx - \sum_{i} W_{i}(t) \delta P_{i}(t). \tag{16}$$

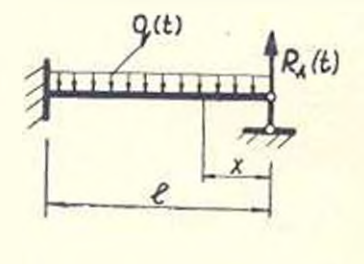
где $P_i(t)$ и $W_i(t)$ —соответственно обобщенные силы и перемещения. Подставляя (15) в (16), будем иметь:

$$\delta \int_{\mathbb{R}} \left[\frac{M^{2}(x, t)}{2EI} - d_{1}s(t)M(x, t) - \int_{t_{1}}^{t_{2}} d_{2}s(z)M(x, t)R(t, z) - \frac{M(x, z)M(x, t)}{EI_{1}} R^{2}(t, z) \right] dz dx = \sum_{l=1}^{n} W_{l}(t)\delta P_{l}(t).$$
(17)

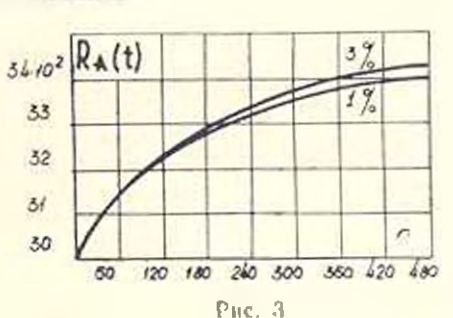
Отсюда для обобщенного веремещения получим формулу:

$$W_{i}(t) = \int_{0}^{t} \left\{ \frac{M(x,t)}{EI} - d_{i}s(t) - \int_{0}^{t} \left[d_{i}s(\tau)R(t,\tau) - \frac{M(x,\tau)}{2I}R^{o}(t,\tau) \right] d\tau \right\} - \frac{\partial M(x,t)}{\partial P_{i}(t)} dx. \tag{18}$$

Формула (18) выражает теорему Кастильяно для железобетонной балки при учете усадки и ползучести (с.100 г.



Piic. 2



Для пллюстрации формулы (18) рассмотрим один раз статически пеопределимую железобетонную балку, загруженную равномернораспределенной, меняющейся во времени нагрузкой q(t) (рис. 2), при учете усадки и ползучести бетона. Для определения значения опорной реакции при отсутствии осадки опоры получаем уравнение:

$$\int_{I} \left\{ \frac{M(x,t)}{EI} - d_{1}s(t) - \int_{z_{1}}^{I} d_{2}s(z)R(t,z) - \frac{M(x_{1},z)}{EI_{1}}R(t,z) \right] dz \right\} \times \frac{\partial M(x,t)}{\partial R_{A}(t)} dx = 0.$$
(19)

В рассматриваемом случае

$$M(x,t) = \frac{q(t)x}{2} - R_A(t); \qquad \frac{\partial M(x,t)}{\partial R_A(t)} = -x. \tag{20}$$

Произведя интегрирование и введя обозначение

$$\Phi(t) = R_A(t) - \frac{3q(t)t}{8} \tag{21}$$

получим интегральное уравнение:

$$\Phi(t) = -\left[\frac{3}{2t}d_{z}EIs(t) + \frac{3}{2t}d_{z}EI\int s(z)R(t,z)dz\right] + i\int \Phi(z)R(t,z)dz.$$
(22)

Решение (22) имеет вил

$$\Phi(t) = -\frac{3}{4t} d_1 E I \left\{ s(t) + \frac{\pi}{4} \int s(\tau) R(t, \tau) d\tau - \lambda \int \left[s(\tau) + \frac{\pi}{4} \int s(\xi) R(t, \xi) d\xi \right] \overline{R}^*(t, \tau) d\tau \right\}.$$
(23)

Здесь $t=\frac{v+4}{4(v+1)}$: $\overline{R}^*(t,\tau)$ —резольвента ядра $R^*(t,\tau)$, построенная истодом последовательного приближения. Ограничившись первым приближением, будем иметь $\overline{R}(t,\tau)=R^*(t,\tau)$. Подставив (23) в (21), получим величину опорной реакции

$$R_{A}(t) = \frac{3q(t)t}{8} - \frac{3}{2t} d_{1}Et \mid s(t) - \int s(z)R(t,z)dz - \int s$$

При q(t) -q и в случае старого бетона $\varphi(\tau)$ - C_0 получим:

$$R_{A}(t) = \frac{3qt}{8} + \frac{EW}{t} s_{0}\omega_{st}(t) + \frac{EW'}{t} s_{0} \left[\frac{\eta_{t} - \gamma}{\eta_{t} - \alpha} \right] i_{1} \frac{\eta_{t} - \gamma}{\eta_{t} - \alpha} - i_{2} \left[\omega_{0}(t) - \frac{1}{\eta_{t} - \alpha} \right] i_{2} \frac{\eta_{t} - \gamma}{\eta_{t} - \alpha} + i_{3} \left[\omega_{0}(t) - \frac{1}{\eta_{t} - \alpha} \right] i_{4} \frac{\eta_{t} - \gamma}{\eta_{t} - \alpha} + i_{5} \left[\frac{\omega_{0}(t) - \omega_{0} EC_{0}}{\eta_{t} - \alpha} \right] \frac{1}{\gamma_{t} - \alpha} \times \left[\frac{4}{\eta_{t} - \alpha} + \frac{1}{\eta_{t} - \alpha} \right] \omega_{1}(t) - \frac{\gamma}{\eta_{t} - \alpha} \omega_{3}(t) - \frac{1}{\eta_{t} - \alpha} \left[\frac{4}{\eta_{t} - \alpha} + \frac{1}{\eta_{t} - \alpha} \right] \omega_{3}(t) \right] \right\}, \quad (25)$$

FIRE
$$\omega_0(t) = \exp(-\tau t) |\exp[-(\pi - \tau_1)t] - \exp[-(\pi - \tau_1)t];$$
 $\omega_1(t) = \exp(-\tau t) |\exp[-(\pi - \tau_1)t] - \exp[-(\pi - \tau_1)t];$
 $\omega_2(t) = \exp(-\pi \tau_1) \exp[-(\pi - \tau_1)t];$
 $\omega_4(t) = \exp(-\pi \tau_1) \{1 - \exp[-\tau_1(t - \tau_1)t]\};$
 $\omega_4(t) = \exp(-\pi \tau_1) \exp[-\tau_1(t - \tau_1)t] - \exp[-(\tau_1 - \tau_1)t] + \exp[-(\tau_1 - \tau_1)t];$
 $\omega_5(t) = \exp(-\pi \tau_1) \{1 - \exp[-\tau_1(t - \tau_1)t]\};$
 $\omega_6(t) = \exp(-\pi \tau_1) \{1 - \exp[-\tau_1(t - \tau_1)t]\};$
 $\omega_6(t) = \exp(-\pi \tau_1) \{1 - \exp[-\tau_1(t - \tau_1)t]\};$
 $\omega_7(t) = \exp[-\pi \tau_1(t - \tau_1)t] + \exp[-(\pi - \tau_1)t] - \exp[-(\pi - \tau_1)t] + \exp[-(\pi - \tau_1)t] - \exp[-(\pi - \tau_1)t]$

При 1→∞ имеем:

$$R_{A}(\infty) = \frac{3ql}{8} - \frac{EW}{e} s_{0}^{*} + \frac{EW'}{l} s_{0}^{*} \left\{ \left(1 - \frac{7}{\eta} \right) \left[\lambda - \lambda_{1} \left(1 - \frac{7}{\eta} \right) \right] \right\}$$

$$\times \left[\lambda EC_{0} \left(\frac{\gamma}{4} + 1 - \frac{7}{\eta} \right) \right] \right\}, \tag{27}$$

 $rae s_0 = s_0 \exp(-\alpha s_1).$

Далее, для рассматриваемой балки при

$$\begin{split} q &= 20 \ \kappa \Gamma / c \text{m}; & l &= 400 \ c \text{m}; & E_1 &= 2 \cdot 10^6 \ \kappa \Gamma / c \text{m}^2; \\ E &= 2 \cdot 10^5 \ \kappa \Gamma / c \text{m}^2; & F &= 20 \ 40 \ c \text{m}^2; & \gamma &= 0.026; \\ C_0 &= 0.9 \cdot 10^{-6} \ c \text{m}^2 / \kappa \Gamma; & z &= 0.011; & s_0 &= 2 \cdot 10^{-4} \end{split}$$

проведен численный расчет опорной реакции. По полученным данным построены зависимости (рис. 3). Анализ кривых показывает, что от усадки бетона реакция растет во времени. При изменении т от 28 дней до 1,5 лет реакция растет на 13,5%, а дальше принимает асимптотический характер. Из зависимостей видно, что влияние процента армирования незначительно.

3. Рассмотрим напряженно-деформированное состояние железобетонной консольной балки (рис. 4). Для определения перемещения свободного конца балки воспользуемся методом введения добавочной силы $P^*(t)$. Тогла прогиб W(t) будет

$$W(t) = \int \left| \frac{M(x,t)}{EI} - d_1 s(t) - d_2 \int s(z) R(t,z) dz + \int \frac{M(x,z)}{EI_1} R^* dz \right| \frac{\partial M(x,t)}{\partial P^*(t)} dx,$$
(28)

rge $M(x,t) = q(t)x^2/2 + P^*(t)x$; $\partial M(x,t)/\partial P^*(t) = x$.

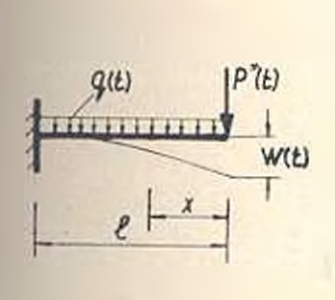
В выражении прогиба полагая q(t) = q и $P^*(t) = 0$, получим;

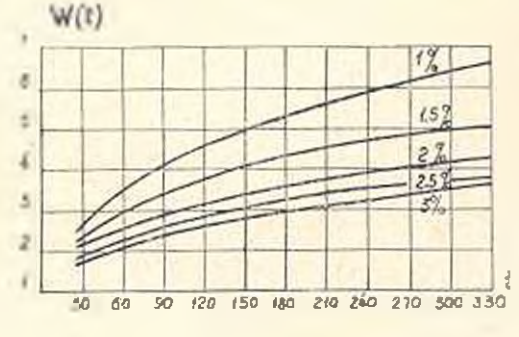
$$W(t) = \frac{\eta l}{8 E l} \left[1 + \frac{3r^2(r+1)}{(r+4)^2} \left(1 - \frac{1}{r_1} \right) \omega_4(t) - \frac{4(r+1)}{r+4} E C_0 \omega_5(t) \right] + \frac{d_1 l^2}{2} s_0 \omega_6(t) + \frac{d_2 l^2}{2} s_0 \left[\left(1 - \frac{7}{r_1} \right) \omega_4(t) - \frac{r_1 - r_2}{r_1 - d} \omega_0(t) \right]. \tag{29}$$

Положение нейтральной оси определяется выражением

$$x_{1}(t) = \frac{C\frac{qt^{2}}{2EW} \left[1 + \frac{\gamma}{4} \left(1 - \frac{\gamma}{\gamma_{1}} \right) \omega_{1}(t) \right] - s_{0}C \left\{ \omega_{2}(t) - \left(1 - \frac{\gamma}{\gamma_{1}} \right) \omega_{1}(t) + \frac{qt^{2}}{2ET} \right\} - \frac{3\beta^{2}(v-1)}{(v-4)^{2}} \left(1 - \frac{\gamma}{\gamma_{1}} \right) \omega_{1}(t) - \frac{4(v-1)}{(v-4)} \left\{ tC_{0}\omega_{2}(t) \right\} + \frac{\gamma_{1} - \gamma_{1}}{2ET} \left\{ tC_{0}\omega_{2}(t) \right\}$$

$$\frac{\left\{\frac{\gamma_{1}-\gamma_{1}}{\gamma_{1}-\alpha}\omega_{0}(t)\right\}}{+\left\{d_{1}s_{0}\omega_{4}(t)+d_{2}s_{0}\left[\left(1-\frac{\gamma}{\gamma_{1}}\right)\omega_{4}(t)-\frac{\gamma_{1}-\gamma_{1}}{\gamma_{1}-\alpha}\omega_{0}(t)\right]\right\}}.$$
(30)





PHC. 4

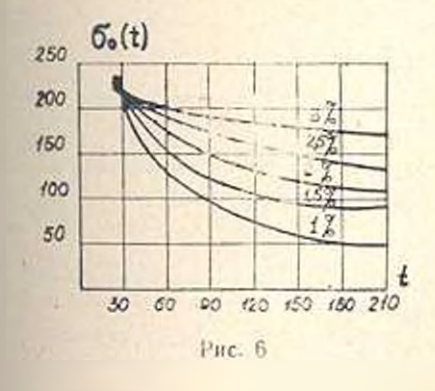
Pric. 5

Напряжения в арматуре и в бетопе, на основании (2) и (5), будут:

$$\varepsilon_1(t) = E_1 C \frac{q \ell^0}{2EW} \left\{ 1 + \frac{4}{\gamma} \left(1 - \frac{\gamma}{\gamma_i} \right) \omega_i(t) \right\} - E_1 C \varepsilon_0 \left\{ \omega_s(t) - \left(1 - \frac{\gamma}{\gamma_i} \right) \omega_i(t) + \frac{\gamma_i - \gamma}{\gamma_i - z} \omega_0(t) \right\}; \quad \varepsilon_0(t) = -\psi \frac{h - z_1(t)}{h - 2z_1(t)} \varepsilon_1(t), \quad (31)$$

гле

$$\omega_{i}(t) = |1 - \exp[-\gamma_{i}(t - \tau_{i})]|; \qquad \omega_{i}(t) = |1 - \exp[-\gamma_{i}(t - \tau_{i})]|; \qquad \mu = \frac{F_{i}}{F}.$$



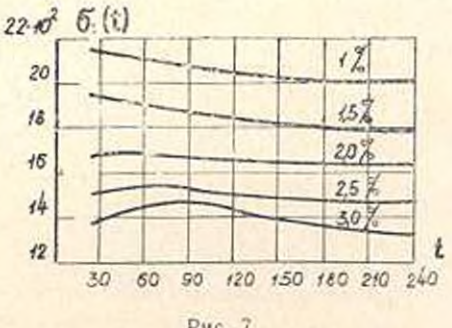


Рис. 7

По данным предыдущего примера построены зависимости, приведенные на рис. 5, 6, 7. Анализируя зависимость (рис. 5) для перемещения, видим значительный рост прогиба во времени под действием усадки и ползучести бетона. Увеличение процента армирования уменьшает прогиб, что также видно из зависимости (рис. 5). Перераспределение напряжений в арматуре и в бетоне показано на рис. 6 и 7.

Формулу (18) можно применять при расчете п раз статически исопределимых стержневых систем.

Краснодарский политехнический институт

Поступило 27.1Х.1973.

I. U. FUSSIQU

հրասթինքուն կնչանքությաններում հանանա լաբությանը վեբլուծնան ԺԱԾԱՆԱԿ ՍՈՂՔԻ ՏԵՈՒԹՅՆՆ ԿԱՍՏԻԼՅԱՆՈՅԻ ՎԱՐԻԱՅԻՈՆ ՀԱՎԱՍԱՐՄԱՆ ԿԻՐԱՌՄԱՆ ՎԵՐԱԲԵՐՑԱԼ

Volumbard

որդվածում դիտվում են երկաքիբետոնե ծովող էլեմենտներ, որոնցում ծուղ մոսենար փոփոխվում է քե բատ երկտրության և քե բատ ժամանակի։ Ստացված է Կաստիլյանոյի վարիացիոն Հավաստրումը բետոնի կծկման և սողթի աշվառքով, որի Տիման վրա բերված են Կաստիլյանուի բեորեսի մի բանի կիրառումները ստատիկորեն անորոշելի ու ստատիկորեն որոշելի խնդիրներ լուծելիս։

ЛИТЕРАТУРА

- Аритеняя И. Х. Пекоторые вопросы теории ползучести, М., Л., Гостехидат, 1952.
 Алексиндронский С. В. Расчет бетонных и железобетонных конструкций на темпера-
- турные и влажные воздействия (с учетом полэучести). Стройиздат, 1966
- В. М. Некоторые вопросы пелинейной теории железобетова Харьков, 1968.
- Висилиев Л. И. Усадочные напряжения в межентах мелезобетонных конструкции Груды Вое по-морского инженерно-строительного училища РКМФ, вып. 1. 1931
- Висильев Л. II Некоторые вопросы пластических деформаций бетона «Изв. ВИНИИ», т. 49. Госянергонздат, 1953.
- Гаоздев 4. А. Гемпературно-усадочные деформации в массивных бетонных балках.
 «Изв. АН СССР ОТН», № 4, 1953.
- Задоян М. А. Вариационное уравнение Кастильяно нелинейно-наследственной теории полаучести. «Известия АН СССР. Механика твердого тела», № 5, 1972.
- 8 Задоль М. 4. О нариационных ураниениях теории ползучести. Доклады АН АрмССР», 1958, т. 26, № 5.
- Проколович И Е Влинине длительных процессов на напряженное деформированное состояние сооружения Госстройнздат, 1963.
- Улицкий И. И. Теория и расчет железобетонных конструкции с учетом длительных процессов. Киев. 1967.

ИЗВЕСТИЯ АКАДЕМИИ НАУК АРМЯНСКОЯ ССР ՀԱՑԿԱԿԱՆ ՍՍՀ ԳԻՏՈՒԹՅՈՒՆՆԵՐԻ ԱԿԱԳԵՄԻԱՅԻ ՏԵԳԵԿԱԳԵՐ

XXVII. No 4 1 2 7 1 Տեխնիկակ և դի առթ. սերիա

ГИДРОТЕХНИКА

г. г. хачикян

О ПАРАМЕТРАХ ГЛУБИННОЙ ЦЕМЕНТАЦИИ В ВЫСОКОНАПОРНЫХ ТУННЕЛЯХ

Глубинная цементация в гидротехнических гуппелях с одной стороны консолндирует и закрепляет трещиноватые скальные породы вокруг выработки, с другон-значительно уменьшает утечку воды. Это мероприятие позволяет максимально использовать способность скалы и, в ряде случаев, дорогостоящие металлические н железобетонные обделки высоконанорных туппелей заменить выравшвающими или тонкостенными бетонными покрытиями, Благодаря указанным дестоинствам, такие туннельные конструкции все чаше находят применение в напорных тунислях, сооружаемых в нашей странс и за рубежом. Рост объемон буровых и нагнетательных работ компенсируется стоимостью металла и бетона, вместо которых как строительный материал используется цементно-песчаный раствор [1]. Цементный камень, образующийся в пустотах породы, повышает ее прочностные и деформационные характеристики, что позволяет защементированному слою воспринимать большую часть внутренней гидростатической нагрузки. Туписль Розелан-Бати во Франции при напоре 16,3 аты имеет бетонную облицовку толшиной всего 0,2-0,3 м и железобетонную обделку толщиной 0,3 м с глубокой цементацией окружающей породы. Нагнетание раствора выполнено при давлении 80 атм через 12 скважин (глубниой 3 м) по периметру сечения туппеля, расположенных через 2.5 м по длине туннеля. Туннель Ингури ГЭС в Грузии (дияметром 9,5 м и напором 16,5 атм) проходит в слоистых трещиноватых известияках. Обделка осуществлена в виде гонкого выравнивающего бетонного кольца толщиной 0,5 м с глубокой цементацией горных пород через радиальные скважины под давлением 20-30 атм.

Многочисленные экспериментальные данные [2, 3], полученные в натурных условиях, показывают, что благодаря омоноличиванию и обжатию породы при цементации под высоким давлением се прочностные и деформационные характеристики повышаются примерно в 1.5-2.5 раза. Примером могут служить данные исследований деформативных свойств горных пород, залегающих в основании илотины Пиана в Италин, где цементация трешиноватых скальных пород повысила их коэффициент отпора в 1,5 раза. Исследования приведены в опытной штольне при равномерном внутреннем давлении 15 кГ/см² [2]. В отдельных случаях упругие характеристики скальной породы после цементации не уступают показателям бетона, а порода становится почти водонепроницаемой [3].

По статическим условиям работы укрепленный слой массива можно представить как толстостепную трубу (рис. 1), испытывающую внутреннее равномерное давление воды [4]. Рассматривая этот занементированный слой скалы вместе с окружающей бесконечной средой как составную трубу, на основе формулы Ламе нолучим уравнение радиальных перемещений на контакте двух зон при отсутствии продольных смещений системы [5]:

$$\frac{(1-a_0)-a_0}{E_0\left(a_n^2-a_1^2\right)}\left[(1-2\mu_0)(a^2p-a_0^2s_0)+(P-s_0)a_1^2\right] = (1-\mu_0)\frac{a_0^2s_0}{E_0}. \tag{1}$$

гле р гидростатическое давление в тупнеле;

 a_6 и a соответственно радиусы цементации и туппеля; E_6 и p_6 — модуль упругости и коэффициент поперечной деформации закрепленной породы в массиве;

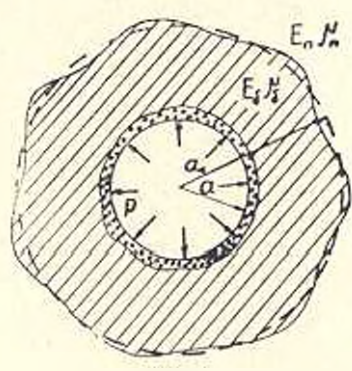
Еп и ва – модуль упругости и коэффициент поперечной деформации породы в ее естественном состояния;

 доля внутренней нагрузки, воспринимаемой неукрепленной породой (упругий отнов нороды).

Из выражения (1) нолучим величину раднуса укрепительной дементации

$$a_0 = a \sqrt{\frac{m + P/z_0}{m + 1}}, \quad (2)$$

где
$$m = \frac{(1+p_0)E_0 - (1+p_0)E_0}{2(1-p_0)E_0}$$
 — фактор упругих характеристик.



₽ис. 1.

Методика определения упругих свойств горных нород в рассмотренном случае приобретает несьма нажное значение. Известно, что порода в условиях естественного залегания находится в начальном напряженном состоянии от веса вышележащей толщи. Однако, учет

этих сил при решении различных задач мехяники горных пород связан с довольно сложными вопросами. Это объясняется наличнем многочисленных факторов, трудно поддающихся учету, изменением напряженного состояния во времени из-за упруго-иластических перемещении породы в сторону выработки, процессом ползучести и релаксиции, образованием нарушенной зоны и т. д. К тому же, при наличии кавери и неоднородностей в массиве, действительная хартина распределения этих напряжений может значительно отличаться от результатов расчета, полученных методами теории упругости изотронного тела. Исходя из этих соображений, в практике проектирования подземных напорных сооружений обычно эти силы не принимаются в расчет, имея в виду, что их влияние на деформируемость породы фактически учитывается при исследовании упругих характеристик породы в туннельных условиях. Наиболее достоверным способом исследования этих локазателей является испытание готовых туннелей или параллельных им опытных цилиндрических камер, которое, несмотря на высокую стоимость, нашло довольно широкое применение в практике строительства плотин и туппелей [6]. Основное преимущество этого метола заключается в определенном уменьшении влияния масштабного фактора на результаты опытов и в учете естественного напряженного состояния, существующего в массиве горных пород.

Контактное давление на паружной поверхности зацементированного слоя вызывает растягивающие напряжения в области пеукрепленных горных пород. Для обеспечения надежной работы несущей конструкции совместно с окружающей средой необходимо, чтобы эти растягивающие усилия находились в допустимых пределах. Подставляя в (2) величину допускаемого напряжения на растяжение для горных пород, находящихся в естественном состоянии, получим необходимый радиус цементации.

Из этого выражения находим глубину укрепительной цементации

$$a - a_n = a - a \left(\sqrt{\frac{m + P(z_n)}{m + 1}} - 1 \right).$$
 (3)

Цементационное давление P должно компенсировать растягивающие напряжения от напора поды, появляющиеся на радиальных сечениях запементированного слоя. Максимальные растягивающие папряжения на внутренией поверхности тупнеля определяются из формулы толетостенной трубы [5]:

$$= \frac{(a_0 - a^2)P - 2a^2z_n}{a_0 - a^2} \tag{4}$$

Приравнивая P и π и имея я виду зависимость (2), получится [7,8]:

$$P_{u}=P+2mz_{u}$$
, (5)

т е цементационное давление зависит от внутренией нагрузки в туппеле и от прочностных и деформационных характеристик породы.

Первоначальное давление цементного раствора не остается постоянным с течением времени. Оно может понижаться от усадки раствора, ползучести бетона и породы и от различных потерь. Применением растворов на расширяющемся или безусадочном цементе можно достигнуть уменьшения или даже полного исключения влияния усадки раствора на снижение первоначального (рабочего) давления.

Укрепительная цементация напорных тупнелей, проходящих в трещиноватых горных породах, может найти применение также в условиях Армянской ССР.

Предположим, что тупнель с внугрениям давлением 15 $\kappa \Gamma/c m^2$ залегает в породах, для которых предельное напряжение на растяжение равно 6 $\kappa \Gamma/c m^2$. Если коэффициент запаса принять n-2, го $a_0=3\kappa\Gamma/c m^2$. Определим необходимые нараметры глубинной нементации, считая, что, благодаря укреплению, модуль упругости скалы возрастает в 1, 5 раза, т. е. $E_0/F_0=1$, 5. Принимая $a_0=0$, 17 и $a_0=0$, 2, получаем: m=0, 322; $d\approx a$; $P_0=1$ $\kappa\Gamma/c m^2$. Эти нараметры отвечают современной практике укрепительной цементации, применяемой в гидротехническом тупнелестроения

Применение предложенных формул для определения нараметров глубинной цементации позволит улучшить проектирование и строительство высоконапорных туниелей в трещиноватых скальных породах за счет повышения их строительных качеств и несущей способ-

ности.

ЕрПП им. К. Маркеа

Поступило 1111 1971.

2. 9. MU2148ILV

ԲԱՐՉԸ ՃՆՇՈՒՄԱՑԻՆ ԹՈՒՆԵՐՆԵՐՈՒՄ ԽՈՐՔԱՅԻՆ ՑԵՄԵՆՏԱՑՄԱՆ ՊԱՐԱՄԵՏՐՆԵՐԵ ՄԱՍԻՆ

Ամփոփում

ծնչումային ինաններներում ավրապնդող ցեմենաացումը կիրաովում է հեղթավոր ժայտային խուներներում ավրապնդում առաջացող հերաակինական ապարներ առաջացող իրանակինական ապարներ արտծրացնելու և միրանկիությունը փոթրացնելու ապատակով։ Սա մետրավորություն է ապիս դգալիորեն բարձրացնել ցեմենաացված ապարներն կարունակությունը և նրանց հաղորդել ներքին իդրոստատիկ ձնչման մեծ մասը։ Հոդվածում այդ ամրապնդված չերար դիտվում է որպես տատ պատերով դլանաձև խողովակ, որի ներքին մակերևույնի վրա ազդում է չրի ճնչումը, իսկ արտաքինի վրա՝ բնական վիճակում դանվող դանդված ապատժմնարներն են՝ ցեմենաացման խորունյունը ցեմենաացման հիմնական առաժմնարներն են՝ ցեմենաացման խորությունը (խողովակի արտաբին չառավիդը) մերանական ձիմենաացման խորությունը (խողովակի արտաբին չառավիդը) հունաններն են՝ ցեմենաացման խորությունը (խողովակի արտաբին չառավիդը)

քյունը որոշվում է այն պայմանից, որ նա լինի մեծ կամ հավասար ամրապեղված շիրտում առաջացած մաբսիմում ձգող լարումներից։ Առաջարկվող Ճերորով ստացվող պարամետրները համապատասխանում են այն ավյալձերին, որոնը հայտնի են հիգրոտեխնիկական քիռնելաշինության ժամահակակից պրակտիկայում։

ЛИТЕРАТУРА

- Эристов В С. О конструкции и расчете обделок высоконапорных гидротехнических туннелей, «Гидротехническое строительство». № 11, 1963.
- 2 Зурабов Г. Г., Бугаева О. Е. Гидротехинческие тупнели гидроэлект; ических станций. Госпергоиздат, 1962.
- 3 1.смс Э. Э. Об использования цементации в конструкциях обделок высоконапорных пидротехнических тупнелей. «Гидротехническое строительство», № 10, 1968.
- Чанкан Г. Г. О глубние укрепительной цементации в напорных гидротехнических тумислях «Гидротехническое строительство», № 12, 1964.
- 5 Тимошенко С. П. Курс сопротивления материалов Госилдат, 1928.
- б. Заприев Г. В. Методы испытаний деформаций массивон породы под нагрузкой и опытных выработках. В со. «Проектирование и сооружение гидротехнических тупнелей и подземных ГЭС», Госэнергонздат, 1963.
- 7. Хачикин Г. Г. О величине давления укрепительной цементации в напорных туппелях. «Гидрогехинческое строительство», № 8. 1970.
- 8 Л гаракян Л. А. Методы расчета эффективности укрепительной цементации напорных гидротехнических туппелей. «Тезисы докладов XXI научно-технической конференции EpПП», Ереван, 1974.

Տեխնիկական գիտութ, սեբիա

XXVII. № 4. 1974

Серия технических маук

TERROTEX HUKA

Р. А. ДУМАНЯН

К ВЫБОРУ ТИПА СТУПЕНИ ФРЕОНОВОГО ЦЕНТРОБЕЖНОГО ТУРБОКОМПРЕССОРА ДЛЯ СИСТЕМ КОНДИЦИОНИРОВАНИЯ ВОЗДУХА

Развитие холодильной техники, в частности, успехи в области холодильного машиностроения создают необходимые предпосылки для внедрения систем кондиционирования воздуха с непользованием оборудования зимой для отопления, а летом для охлаждения воздуха в жилых и административных помещениях. Вопрос охлаждения воздуха в зданиях преобретает особое значение для городов южных районов нашей страны (Ташкент, Аціхабад, Алма-Ата, Киев, Ереван, Баку и т. д.), для которых продолжительность и величина нагрузки искусственного охлаждения соизмерным и даже превышают соответствующие иоказатели отопительного периода [5]. Это обстоятельство в случае правильного выбора рабочей схемы может способствовать существенному увеличению числа часов эксплуатации холодильных агрегатов, предназначенных для тепло- и хладоснабжения установок кондиционарования воздуха.

Создание унифицированных и экономичных холодильных агрегатов для таких систем может представлять большой практический интерес, если учитывать, что системы круглогодичного кондиционирования воздуха, особенно в последнее время, получают широкое внедрение.

При проектировании мощных систем динамического отопления и охлаждения с целью увеличения единичной мощности агрегатов (15—20 Mer), а также уменьшения их весогабаритных показателей, часто используются фреоновые холодильные турбоагрегаты с центробежными компрессорами.

В работе [2] подчеркивается целесообразность применения двух-корпусных компрессоров для таких систем, ссылаясь на то, что такая компановка позволяет при переходе на режим охлаждения (который характерен меньшей тепловой нагрузкой и узким днапазоном температур никла) отключить первую секцию. Однако, приведенные ниже расчеты, а также соотношение нагрузок тепло- и хладопотреблений для ряда южных городов показывают необходимость параллельного подключения секций при переходе на летний режим работы и возможность более рационального использования установленного оборудования. Вариантная схема такого переключения представлена на рвс. 1.

Пренебрегая влиянием условного числа Маха по окружной скорости Ми и показателя однабаты κ , вызванным изменением начальных параметров сжимаемой среды при постоянном числе оборотов, между нагрузками испарителя и конденсатора Q_1 , Q_3 [87] турбоагрегата, ра-

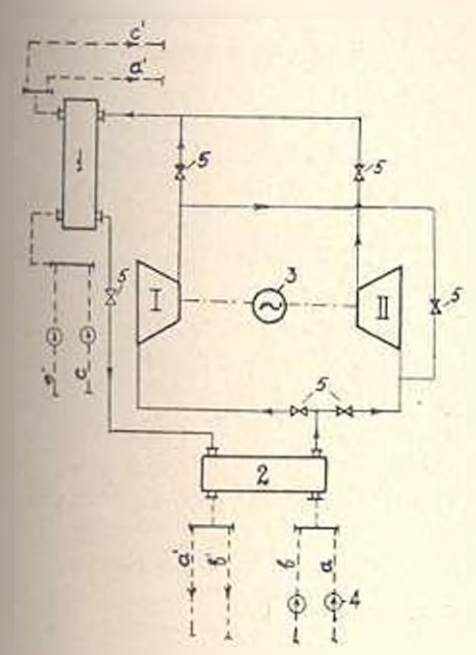


Рис. 1. Схема переключения секний компрессора при изменении режима работы турбоагрегата:

1. 11—секции компрессора; 1—конденсатор;
 2—испаритель; 3- электродвигатель переменного тока; 4—сетевые инсосы;
 3—вентиль;

а-вода, как истояних тепла на режиме отопления; а' слив в канализацию; а', в- примая и обратная липии охлаждаемой воды; с', с-подающая и обратная липии тепловой сети: с-нода на охлаждение конденсатора при параллельной работе

ботающего по приведенной схемс (в расчетном режиме), можно установить следующую зависимость:

$$\left(\frac{Q_{s}}{Q_{s}}\right)_{p} = \frac{q_{os}}{q_{os}} \cdot \frac{P_{os}}{P_{os}} \cdot \left[\frac{T_{os} + \Delta(zt)}{T_{os} + \Delta(zt)}\right]^{\frac{1}{2}} \left(1 - \pi^{-\frac{1}{2}}\right). \tag{1}$$

rae $q_{\kappa} = l_n - i_1 \left[\partial \mathcal{H} / \kappa z \right]; q_{\kappa} = l_{\kappa} = i_2 \left[\partial \mathcal{H} / \kappa z \right];$

 $T_{\sigma i}$, $T_{\sigma i}$ – температуры кивения рабочего вещества в испарителе на режимах отопления и охлаждения соответственно, в K (рис. 2):

 $\mu_{\rm CM}$ перегрев наров перед компрессором (общино $5 \div 10$ C); $p_{\rm ox}$ — давления в испарителе на летием и зимнем режимях работы, и $\mu_{\rm cm}$;

т -степень повышения давления и первой секции;

токвазатель политроны процесса сжатия.

В частности, при неизменных знячениях параметроя рабочего веществи в испарителе, т. е. $T_{0.1} = T_{0.1}$, $p_{0.2} = p_{0.3}$, получим:

$$\left(\frac{Q_a}{Q_s}\right)_p = \frac{q_{os}}{q_{os}} \left(1 + \pi_1 - \frac{m+1}{2m}\right). \tag{2}$$

Отношение $\binom{Q_n}{Q_n}_p$, как это видно из выражения (2), будет зависеть:

от выбранных температур кипения и конденсации на режиме охлаж-

дения (обычно $t_0 = 5^{\circ}$ С. $t_m = 35^{\circ}$ С. [2]), термодинамических свойств рабочего нещества, к. н. д. компрессора, н. в общем случае, може колебаться в достаточно широких пределах.

Для выбранных значений температур t_0 и t_m от свойств хладовгента в значительной степени зависит также число ступеней, размещенных и одной секции компрессора, а следовательно, и стоимость турбовгрегата.

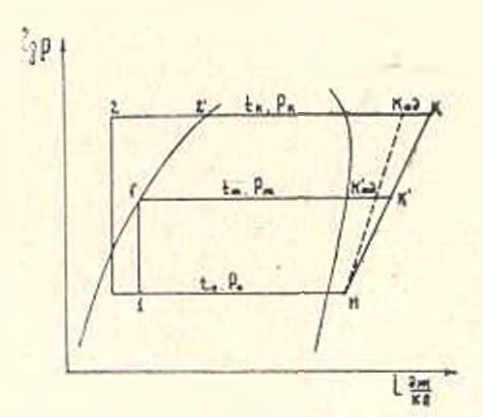


Рис 2. Рабочие диклы в координатах I = 1gp

В настоящее время из числа рабочих веществ с высокой нормальной темнературой кинения наибольшее применение в холодильных турбоагрегатах получили фреовы: Ф-11; Ф-21; Ф-114; Ф-142, Как указывается [2], для больших холодопроизводительностей $(Q_0>1000~\kappa sr)$ весьма подходящим является также $\Phi=12$, применение которого позволяет обойтись одной ступенью вместо двух, например, на Ф 11 При работе на Ф 12 в условиях с -5°С и t_m = 35°С степень новышения давления в секциях составляет = 2,335, что действительно позволяет реализовать требуемый напор размещением в каждой секции по одной ступени, апализ характеристик которых проведем ниже. Однако, в этом случае при сравнительно небольших температурах конденсации (55 ÷ 60°С резко возрастает давление по фреоновом контуре и при $t_{\rm c} = 62 \div 63$ С опо превышает допустимые; с точки зрения механической прочности стандартного холодильного оборудования пределы $p_k > 15,7$ бар. Поэтому радиаторное отопление при температурах теплоносителя 85 -: 90 С в подобных случаях исключается. Но допустимые величины температур t_{P} вполис достаточны для панельпо-лучистого отопления, когда необходима вода C температурой 50:60 С, или при отоплении универсальными кондиционерами [4]. например, КН-10, КН-20 и т. а.

Таким образом, ограничиваясь значением — 60°C при последовательной работе секций (режим отопления) и принимая;

 $t_{\rm co} = 0$ °C; $t_{\rm g} = 25$ °C; $t_{\rm mont} = t_{\rm mont} = 0.77$; $\Delta(zt) = 5$ C (рис. 2), для соотношения тепло- и холодопроизводительностей турбовгрегата получим $\left(\frac{Q}{Q}\right) \approx 1.2$, а при неизменных параметрах в испарителе $t_{\rm co} = t_{\rm co} = 5$ °C оно составляет ≈ 1.04 .

Полученные значения (——), которые в основном зависят от выбранных температурных условий цыклов, находятся в пределах необходимого соотношения тепло- и хладопотреблений [5] и показывают возможность параллельной работы секций на режиме охлаждения.

Одним из основных моментов в комплексе задач по выбору универсальных экономичных и надежно работающих оборудований для таких систем является выбор компрессора. Вследствие ограниченности имеющихся достоверных опытных данных и рекомендаций по фреоновым центробежным компрессорам, особенно в области высоких значений чисел Маха, подобные вопросы решаются далеко не оптимально. Так, для центролизованного хладоснабжения установок кондиционирования воздуха в комплексе зданий в Москве Государственным проектным институтом «Сантехпроект» разработан проект холодильной станции, которая введени в эксплуатацию летом 1969 г. [3]. В помещении холодильной станиии установлено шесть турбоагрегатов марки ХТМФ 235—2000—11 с двухступенчатыми центробежными компрессорами Казанского компрессорного завода, работяющих на Ф-12 общей холодопроизводительностью -12.2~Msr при $t_0 = 5~$ и $t_m = 35$ °C. В работе [2], как указывалось раньше, автор, принимая М-, 0,8 независимо от 🍇, на основании теоретических расчетов локазывает возможность обеспечения заданного диапазона температур в одной ступени любого типа при значениях $\frac{D_{\bullet}}{D_{\bullet}}\!\!\approx\!\!0,5\!\!\rightarrow\!\!0,55$ (здесь и далее обозначения согласно [1]). В подобных случаях при выборе типа ступени, характеризуемого углом выхода лопаток колеса \$1.1. помимо весогабаритных характеристик машины возникают вопросы, ные, прежде всего, с к. п. д. и формой напорных характеристик. Опытные данные по этому вопросу, полученные для воздушных машин [1], относятся диапазону М_п ≈0,6 +1,0, когда числа Маха в относительном

и абсолютном движении M_{w_1} , M_{c_2} не превышают $\sim 0.4-0.6$. Но, вследствие отсутствия данных о влиянии числа M_{u_1} на характеристики ступеней различных типов ($\rho_{2,1}{=}15 \div 90^{\circ}$), эти рекомендации для фреоновых компрессоров, расчетными для которых уже сейчас являются $M_{u_1}{=}1.0 \div 1.3$, могут быть использованы голько в первом приближении. Это делает необходимым исследование ступеней различных типов и области высоких значений чисел M_{u_1} для установления границ областей их наиболее экономичной работы, а также совершенствования методов расчета и проектирования фреоновых центробежных компрессоров

С этой целью в лаборатории холодильных машии ЛТИХП выполнена серия исследований ступеней концевого типа (с относительной шириной колес $\frac{1}{D}$ =0,03 и выходными углами лопаток колеса $\frac{1}{D}$ =15°: 22°30′; 32; 45°; 63 : 90°) в широком диапазоне чисел M_0 =0,8 ÷ 1,6 на фреоне — 12. Ступени имели лопаточный диффузор (с углом установки входных кромок лопаток α_1 =18) и симметричную боковую сборную камеру вместо улитки. В настоящей работе приведены некоторые результаты этих исследований.

На рис. З представлена экспериментальная зависимость безразмерной политропической работы $M_{\rm H}^{-2}$ и политронного к. и. д. $I_{\rm pol}$ ступеней по полным параметрам на оптимальных режимах работы от числа $M_{\rm H}$. К.п.д. ступеней определялся по формуле:

$$x = -\frac{\lg z}{k - 1} \lg \frac{z^* T^*}{z_n T_n}.$$

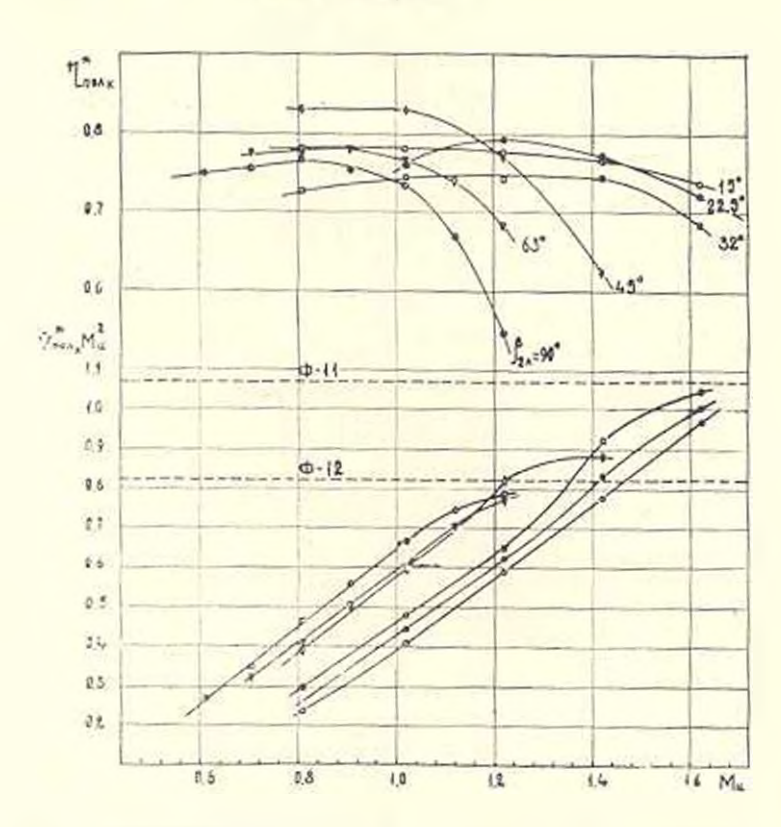
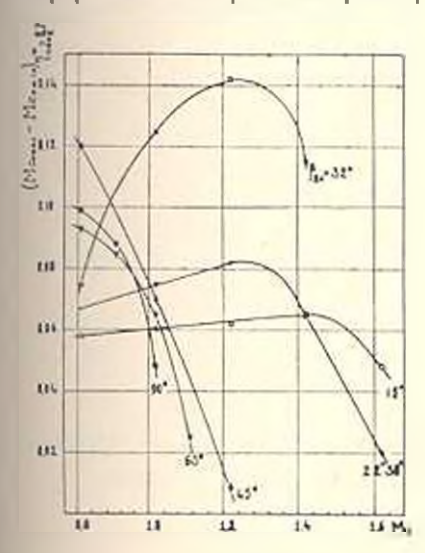


Рис. 3. Зависимость безразмерной удельной политропической работы $\Psi^{\bullet}_{\text{пол}_{\mathbf{K}}}$ и политропного к. п. д. $\tau^{\bullet}_{\text{пол}_{\mathbf{K}}}$, по полиым параметрам, ступеней от числа Ми на режимах максимальных к.п.д.

гле = $\frac{p_{\kappa}}{p}$; p^* , p^*_{κ} , T^*_{κ} — данление и температура заторможенного потока в сечениях и—и и к—к; z^* , z^*_{κ} —коэффициенты сжимаемо сти и тех же условиях.

Испытания показали, что напорные и экономические показатели исследованных ступеней значительно отличаются. Это отличие проявляется наиболее существенно в области высоких значений $M_n=1,0\div1,6$, когда в проточной части компрессора возникают около-и сверхзвуковые течения рабочей среды. Последнее сопровож цается резким возрастанием необратимости процессов преобразования эпергии в машиме, приводящей к снижению к. п. д. и эффективного напора M_n . Предельные значения M_n , при которых возникают явления зависят от многих геометрических и кинематических параметров ступеней и, как показал опыт, обратно пропорциональны велячие выходного угла лопаток колеса δ_{2n} (рис.3).

Ступени с $\mathfrak{F}_{2n}=90^\circ$; 63; 45° сохраняют хорошие характеристики в области $M_n < 1.0 = 1.15$. Правда, последнее из них обеспечивает достаточно высокий к.п.д., равный 0,77 \pm 0,72, и при $M_n = 1.2 \pm 1.3$, по форма ее напорной характеристики резко ухудивается (рис. 4).



Ступени насосного, полунасосного типов с 32, = 15 : 22°30′ и 32 рабогают устойчиво при более высоких значениях М_и = 1,4 → 1,6 при т, = 0,69 - 0,77 н. несмотря на низкие значения коэффициентов теоретического напора оп, развивают, по сравнению со ступенями компрессорного и с раднально оканчивающимися допатками колеса (типов 32л=45°; 63°; 90°), большие степени повышения давления. На рис. 3 отмечены значения безразмерной работы, требующейся при работе компрессора на фреоне

Рис. 4. Зависимость разности максималь. 12 и фреоне — 11 в условиях контых и минимальных значений чисел Маха диционирования воздуха ($t_0 = 5^\circ$ и на входе в колесо от Ми при к.п.д. ступени $t_m = 35^\circ$). Как видно из графиков, $\eta_{no.i_s} = 0.7$ при работе на фреоне — 11 одноступенчатое сжатие оказывается не-

достаточным. При работе на фреоне—12 необходимый напор может быть получен в одной ступени, когда применяются колеса с φ_{2s} =45°; 32; 22°30 и 15°. Отметим, что все испытанные колеса имели отно-

шение
$$\frac{D_1}{D_1}$$
=0,55.

Анализ характеристик последних ступеней позволяет сделать вполне определенный с эпергетической точки зрения вывод по выбору

даждения.

онтимального типа одноступенчатого компрессора для работы в указанном интервале температур на фреоне 12. Им следует считать ступень с $\beta_2 = 22.30^\circ$, которая создает требуемый напор при $M_n = 1.4$ и к.п.д. = =0.77, сохраняя достагочно широкий диапазон экономичной работы ($M_{co,max} = M_{co,min}$), = 0.7 = 0.07. Последнее обстоятельство в рассматриваемом случае существенно, ввиду переменного характера нагрузки на обоих режимах работы турбоагрегата отопления и ох-

Выводы

Соизмеримость нагрузок тепло- и хладопотреблении для ряда южных городов позволяет, при работе турбоагрегата на Ф—12, использовать схему параллельного и последовательного подключения секций компрессора с размещением в них по одной ступени. Требуемые при этом степени повышения давления, при приемлемых значениях к. п. д., можно получить в ступенях с лопаточным диффузором только при определенных значениях выходных углов лопаток колеса. В этих условиях из всех исследованных ступеней эпергетически наиболее выгодной следует считать ступень с $R_2 = 22°30°$, обеспечивающую к. п. д.= =0.77 и достаточно устойчивую напорную характеристику.

Лепниградский технологический институт холодильной промышлепности (ЛТНХП)

Поступило 15.Х.1973

Ռ. Հ. ԴՈՒՄԱՆՑԱՆ

Ամփոփում

Հողվածում, ելնելով մեր երկրի Հարավային շրջանների մի շարբ բաղաբներում օդի կոնդիցիոնացման սիստեմների համար ջերմության և ցրաի պաչանջների համաշափ լինելուց, ցույց է տրված կոմարևսորի սեկցիաների հաջորդաբար և զուղահեռ աշխատանբի անհրաժեշտությունը և հնարավորուքյունը։ Բերված են թիակավոր դիֆուզորով կենտրոնախույս կոմպրեսորի տարբեր տիպի աստեճանների գումարային, փորձնական բնութադրերը պայմանական Մախի թվերի լայն տիրույթում (Mu=0,8—1,6), որոնք հնարավորություն են տալիս կատարել քներդետիկական տեսակետից ամենաշահավետ մեկ աստիճանային կոմպրեսորի ընտրություն այդ սիստեմների համար։ Փորար ցույց են տվել, որ այդ պայմանին բավարարում է այն աստիճանը, որի անիվի թիակների ելրի անկյունը կաղմում է 22°30°.

ЛИТЕРАТУРА

- 1. Ры В. Ф. Центробежные компрессорные машины, «Машиностроение», 1964.
- Чистяков Ф. М. Холодильные турбоагрегаты. «Машиностроение», 1967-
- 3 Кранфе № Я. Г., Шпиз Б. Г. Кондиционирование воздуха и комплексе здании по проспекте Калипина в Москве. «Холодильная техника», № 12, 1972.
- 1 Валдоганидзе В. К., Везирационзи О. Ш. Тепловасосная установка для теплохолодоснабжения тэргового центрв в Сухуми. «Холодильная техника». № 12, 1972.
- Аршакан Д. Т., Меликан З. Л., Вардинян Л. А. Методика определения годовых шагрузок хололопотребления в жилых зданиях. «Теплоэпергетика», № 10, 1972.

2 ЦЗЧЦЧЦЬ 10 12 ЭР 5 ПРРВ ЗПРОСОВЕР ЦЧЦЧ БОГОВ В БОГОВ В В СТИЯ АКАДЕМИИ НАУК АРМЯНСКОЙ ССР

Shipushipus ghunup. ubrhu XXVII, No. 4, 1974

Серия технических наук

ЭНЕРГЕТИКА

Д. М. БАБАЯН

О ТОЧНОСТИ РАСЧЕТНЫХ ХАРАКТЕРИСТИК ТУРБОГЕНЕРАТОРОВ, ИСПОЛЬЗУЕМЫХ ДЛЯ ОПТИМИЗАЦИИ РЕЖИМА ТЭС

В настоящее время для решения задачи оптимизации режима тепловой электростанции применяется большой арсенал численных методов прикладной математики и средств вычислительной техники, когорые предъявляют особые требования к точности исходной информации. Достоверность исходных данных, закладываемых в ЭЦВМ, оказывает существенное влияние на конечный результат решения задачи. Примскии самые рациональные математические методы и наиболее современную вычислительную технику, обладающую непогрешимостью, невозможно получить желаемого эффекта, если в основу расчетов положены далекие от действительности данные. И наоборот, повышение качества исходной информации позволяет получить дополнительный выигрыш в смысле экономии расчетных затрат даже в том случае, если реализуемый на ЭПВМ алгоритм и вычислительная техника остаются неизменными. Поэтому проблема получения достоверной с практической точки эрения информации и се учет остается вопросом первостепенной важности для всех оптимизаинонных залач.

Особая сложность расчета оптимиальных режимов ТЭС на ЭЦВМ, а гакже отсутствие универсальных программ, приводят к тому, что для каждой станции, как правило, созлаются новые алгоритмы и программы, учитывающие специфику работы ТЭС.

Это требует много времени и средств. Затраты на разработку программ расчета оптимальных режимов станции, включающие в себи расходы на научно-исследовательскую работу, использование средств вычислительной гехинки, внедрение полученных результатов в практику эксилуатации электрических станций, довольно значительны по размеру, а окупаемость их зависит только от реального экономического эффекта.

Исходя на вышесказанного, понятны те требования к точности расчетных характеристик турбоагрегатов, которые предъявляются им, как исходной информации. Однако этой проблеме уделяется недостаточное внимание. Опыт работ Волгоградской, Ярославской и Дальневосточной энергосистем показывает, что имеющиеся на ТЭС расходные характеристики турбоагрегатов, используемые для определения укруи-

ненных экономических показателей станции, неприголны для целен оптимизации. В таких случаях необходимо провести особые испытания с максимально возможной степенью точности, чтобы на их основе построить более достоверные расчетные характеристики. Использование усредненных данных или заводских днаграмм, снятых на испытательных степдах и существенно отличающихся от истиниых характеристик турбии, которые работают в различных по реальности условиях эксплуатации, совершенно недопустимо.

Вопрос точности расчетных характеристик турбоагрегата пало рассматривать в динамике, т. е. непосредственно в мемент расчета на ЭЦВМ оптимальных режимов.

Достоверность расчетной характеристики, следовательно, и правомочность ее использования для расчетов по оптимизации режима работы ТЭС зависит как от степени точности статической характеристики, которая закладывается в качестве исходной в намять ЭЦВМ, так и оп степени точности процесса корректировки се на изменяющиеся в процессе эксплуатации условия работы оборудования.

Параметры состояния рабочего процесса турбинного цикла постоянно изменяются, что приводит к изменению расчетной характеристики и необходимости ее многократной корректировки. Этот трудоемкий процесс должен производиться достаточно оперативно, так как он является предварительным этапом оптимизации режима работы ТЭС, которая, в свою очередь, относится к регулированию суточного цикла станции. На сказанного видно, что лишь созданием специальной подпрограммы корректировки основного массива исходной информации расчетных характеристик на ЭЦВМ можно успешно решить вопросы оперативности и точности, выдвигаемые самой задачей.

Однако эффективность этой работы во многом зависит от точносии исходной характеристики. Более того, любая корректировка имеет смысл лишь в том случае, если отклонение исходной расчетной характеристики турбоагрегата от истинной—величина, сонямеримая поправкой. Расходные характеристики турбоагрегатов представляют собой выпуклые функции нагрузок с изломами в точках открытия групп регулирующих клапанов. В то же время в практических целях используется их линеаризированный вид. Возникает вопрос: допустима ли иодобная идеализация расходной характеристики, если последняя используется в расчетах по оптимизации режима ТЭС? Ответить на этот вопрос можно голько изучив влияние апироксимации расходной характеристики турбоагрегата на конечный эффект оптимизации режима.

С этой целью произведены сопоставительные расчеты для определенных типов турбии. В качестве примера рассмотрены расходные характеристики турбоагрегатов двух типов: копденсационный ПВК-150 и противодавленческий ВРТ-25 (рис. 1)

Для исследования была произведена формальная постановка за-

дачи онтимального распределения электрической нагрузки между двумя однотипными агрегатами.

Математическим методом оптимизации выбран анпарат динамического программирования [1], применение которого в данных условиях одномерной задачи дает решение в форме глобального экстермума. Необходимо минимизировать функцию

$$f(N_1, N_2) = Q_1(N_1) + Q_2(N_2)$$
 (1)

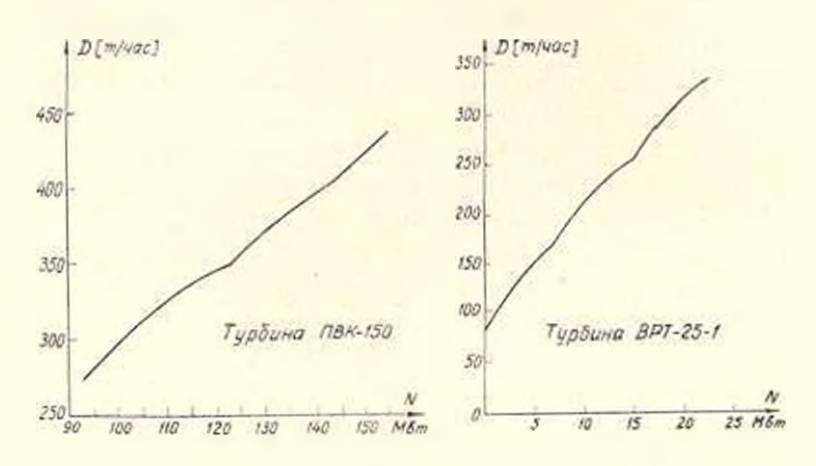


Рис. 1. Расходные характеристики турбовгрегатов (D = расход пара на турбину, m_i чис: N = электрическая мощность турбины. Msm)

при ограничениях:

$$N_1 - N_2 = N; \quad 0 \le N_1 \le N_1; \quad 0 \le N_2 \le N_2,$$
 (2)

где A — активная мощность турбины; Q — расход тепла на турбину; индексом * обозначены максимальные значения переменных.

Для минимизации функции (1) с учетом ограничений (2) строятся уравнения динамического программирования;

$$f_1(N) = Q_1(N_1); \quad 0 \le N_1 \le N_1;$$

$$f_2(N) = \min[Q_2(N_2) + f_1(N - N_2)]; \quad 0 \le N_2 \le N_2.$$
(3)

Используя выражение (3), по заданному N определяются значения переменных N_1 и N_2 .

Решая задачу для случая нелинейных характеристик турбин и их анпроксимированного вида, можно определить перерасход гепла, связанный с точностью представления исходной информации.

Результаты расчета сведены в табл. 1. Анализ данных таблицы ноказывает, что для конденсационных турбин типа ПВК-150 линейная аппроксимация характеристик приводит к незначительному искажению исгинного результата, в то время как для противодавленческих гурбин ВРТ-25 подобная идеализация исдопустима даже в принципе.

							Ταδλυμα Ι				
SP, Mom	По ист	гинной еристике	ΣQ _n ,		ризован- теристике	ΣQc.	×0 - 10				
	P1. Mont	P2, Mam	Мкал час	P ₁₁ Msm	P2. Mem	Мкал час	ΣQc				
Турбогенератор ПВК-150											
180 190 200 210 220 230 240 250 260 270 280 290 300 310 320	90 100 110 120 130 140 140 140 140 140 150 160 160	90 90 90 90 90 90 100 110 130 140 140 140 150	325 · 88 320 · 80 357 · 84 374 · 87 389 · 21 404 · 44 421 · 17 437 · 00 452 · 83 469 · 06 483 · 30 503 · 31 521 · 23 541 · 24 559 · 17	90 100 110 110 120 130 120 150 160 140 150 160 160	90 90 90 100 110 110 110 110 110 140 140 140 150	325,58 320,80 357,84 374,86 390,70 407,43 421,76 438,49 457,01 474,93 183,30 503,31 521,23 541,24 559,17	0.00 0.00 0.00 0.00 0.38 0.73 0.14 0.34 0.92 1.46 0.00 0.00				
			Typúore	нератор В	PT-25	1					
33 34 35 36 37 38 39	28 29 19 20 21 22 23	5 16 16 16 16	324.57 333.44 340.23 546.12 351.97 357.22 363.17	17 17 20 19 20 21 21	16 17 15 17 17 17	326 16 333 80 341 48 347 87 353,76 359 61 364 86	0 + 489 0 + 107 0 + 367 0 + 508 0 + 569 0 + 465				

19 **EHHIII**

40

41

42

13

44

45

16

47

48

16

16

16

17

22

22

22

23

24

23

24

25

26

26 22

23

24

24

2·1 26

369.08

375,51

381,41

389:05

395 - 92

401 (87

407.78

413.73

419,64

126,06

Поступпло 6 V.1974

0.465

1 4257

1+081

0.894

0.416

0,000

0.308

0.301

D+273

0.112

0+002

2 U. AUPUBULL

20

21

22

22

 $\overline{22}$

25

:16

26

26

25

20

20

20

21

22

20

20

21

22

373.72

379.57

384 782

399 - 67

395 (92

403-11

469 (01

4111.86

420 - 11

426 -07

<u>֍ՈՒՐԲՈԳԵՆԵՐԱՏՈՐՆԵՐԻ Հ</u>ԱՇՎԱՐԿԱՅԻՆ ՔՆՈՒԹԱԳՐԵՐԻ ՃՇՏՈՒԹՅԱՆ <u> ՄԱՍԻՆ՝ ԵՐՔ ԲՆՈՒԹԱԳՐԵՐԸ ՕԳՏԱԿՈՐԾՎՈՒՄ ԵՆ ՋԵՐՄԱԷԼԵԿՏՐԱԿԱՅԱՆԻ</u> ՌԵԺԻՄԻ ՕՊՏԻՄԱԼԱՑՄԱՆ ՀԱՄԱՐ

Radinginia

Հոդվածում դիտված է շաշվիչ մերհհայի վրա ջերմաէլեկտրակայանների ոնժիմների օպարմակայման փնդիրներ լուծելիս նականական ինֆորմացիայի <u>հերկայացվան Ճշտուβյան Հարցը։ Հիմնավորված է տուրբսադրեդատների</u> հաշվարկային բնուքիագրերի ձշտունյան աստիձանի ազդեցունյունը օպտիլացման էֆեկտի վրա հետազոտելու անհրաժեշտությունը յուրաբանչյուր կոնկրետ դեպրում։ Կատարված են հաշվարկներ տարրեր տիպերի տուրբոագրեզատների ծախսման բնուքագրերի դծային մոտարկման հետ կապված ջերմության դերածախսումները որոշելու համար։

ЛИТЕРАТУРА

 Беллман Р. Дрейфус Г. Прик гадине задачи динамического прогоаммирования Изд. «Наука», 1965. жы технических наук Серия технических наук

научные заметки

М. В. КАСЬЯН, М. Т. ПАДЖАРЯН

МОДЕЛЬ ОБРАБАТЫВАЕМОСТИ МЕДИ МЗ

Условное понятие-обрабатываемость-оценивается величинами параметров режимного поля. Их сочетательным влиянием на показатели процесса резания являются: усилие, стойкость, деформация, температура, шероховатость. Если при обработке гого или иного металла определенным резиом мы получаем возможность работать высокими скоростями резаиня при незначительной интенсивности изнашивания, то обрабатываемость такого металла принимается за 100. Иужно сказать, что в такой шкале обрабатываемость меди МЗ оценивается цифрой 20. Возникает вопрос: почему при высокой теплопроводности меди показатель ее обрабатываемости столь низкий?

В машиностроении есть области производства, где обработка меди резанием составляет значительный объем и, поэтому, исследование процесса резания меди является необходимым.

В связи с этим появилась необходимость проведения большой серии опытов с использованием метода планирования экспериментов выявления влияния параметров режимного поля на усилия, стойкость, усадку стружки, температуру контакта и шероховатость.

Математическая модель этой связи имеет следующий вид:

где Ri — факторы, которые, в конечном итоге, влияют на обрабатываемость; таковыми являются: сила резаиня P_{γ} , стойкость инструмента T, усадка стружки k, температура контакта Θ , шероховатость обработанной поверхности R..

Обширные экспериментальные данные при резании меди МЗ дают возможность определить влияние V, t и s на $R_t(P_t, T, K, \Theta)$ и Ra) для двух инструментальных материалов: резен P18 с геометрическими параметрами у=60 и γ = 25°; резец, армированный пластицкой ВК8, с геометрическими параметрами у -60 и 7 35.

В табл. 1 приведены значения коэффициентов С, и степеней 🔏 , Хі в Уі для различных процессов.

На таблицы видно, что значения С. непосредственно не связаны с физико-механическими свойствами меди, а одни и те же нараметры режимного поля влияют на показатели процесса по-разному. Так, вапример, повышение скорости резания положительно сказывается на

усилие, леформацию стружки и чистоту обработанной поверхности и отрицательно влияет на стойкость и температуру контакта. Поэтому появляется возможность выбора скорости в зависимости от требования, предъявляемого к обрабатываемой детали. Между тем, увеличение полачи отринательно отражается на все показатели процесса.

Ταδριίμα Ι

Резси	Cn:	та резани	н Рэ		Температура н				
	≠ p	Z_{p}	$X_{\mathfrak{g}}$	$Y_{\mathcal{P}}$	Co	Zu	χ_{Θ}	Tu	
Peacu P18	405+0	-0.23	0.91	1+10	72 - 56	0.24	0,08	0.13	
Резен ВКа	181.4	-0.09	0.88	1.03	36,32	0.46	0,04	0.15	

	Усалк	a k		Стойкость Т				Шероховатость <i>R</i> -			
G_{R}	Z.te	Xk	Y_k	CT	21	Xı	Y 1	C_R	Z,R	X_R	Eg
22.0	- 0,30	-0.02	0.020	9369	-1.72	0,080	0.013	20.62	0,201	0,0	1 - 19
4.9	-0,13	0.01	0,024	423 • 2	-0.68	-0,017	-0,180	164.0	0.000	0.0	1 -45

Стойкостные исвытания резцов из различных инструментальных материалов показали, что их стойкость при обработке меди невелики [2]. Причина быстрого износа резцов, главным образом, связана со свойствами меди. Согласно исследованиям [3] вследствие перенада температур между обрабатываемым материалом и инструментом возинкают условия, способствующие переносу материала и, следовательно, процессу износа. В результате этого наблюдается довольно быстрый перенос углерода, что приводит к обезуглероживанию поверхности контакта инструмента и к образованию бедных по углероду фаз.

На износ инструмента воздействует способность меди образовывать твердые растворы с компонентами инструментальных материалов. При обработке меди быстрорежущим резцом на контактных поверхностях происходит взаимная растворимость железа и меди, кроме того, в меди растворяется и вольфрам, вследствие чего происходит перенос масс от инструментального материала и медь, количество которого зависит от процента растворимости.

Аналогичное явление происходит и при использовании твердого сплава ВК8. Перенос углерода с твердого сплава к меди приводит к тому, что свободный вольфрам растворяется в меди, и происходит перенос инструментального материала, который удаляется со стружкой и обрабатываемой поверхностью.

Кроме того, в нроцессе резания давление на контактных площадках достигает очень больших значений, что приводит к изменению свойств обрабатываемого материала, и это обеспечивает условие для истечения меди [4]. Медь в таком состоянии под высоким давлением приникает в пористую часть твердосилавной пластинки, создавая давление на зерна WC, тем самым облегчая их удаление с поверхности контакта.

Таким образом, быстрый износ резца при обработке меди, в основном, зависит от свойств этого металла. При изучения других факторов на обрабатываемость замечается, что больное влияние на процесс оказывают свойства меди.

При обработке меди деформация срезаемого слоя достигает больших значений. Следовало предположить, что в такой степени пастической деформации теплота деформации достигает больших начений. Но эксперименты (как и расчеты) показали, что при резании меди температура контакта не достигает больших значений. Она составляет около 450°, что объясияется большой геплопроводностью обрабатываемого материала.

На основании изложенного мы приходим к заключению, что целеособразно составить математическую модель для всех обрабатываемых металлов. Что же касается агрессивности меди в отношении к режущему инструменту, то она объясияется способностью меди вступать в реакцию с составляющими элементами материала инструмента в условиях повышенной температуры и давления.

ЛИТЕРАТУРА

- 1. Станкостроение за границей, 1950, вып. 2.
- Нагіжаряч М. Т. Оптимальная скорость резания при обработке технически чистой
 меди. «Воздействие режущего пиструмента на физические свойства металлов»,
 вып. 111, 1973.
- 3. Hehenkamp T. Arch. Eisenhüttenwes., 1958, Bd. 29.
- 4 Инестровский И. З., Померанцев С. Н. Краткий спраночник по обработке пветных металлов и сплавов. М., 1961.

ՀԱՅԿԱԿԱՆ BILZ ԳԻՏՈՒԹՅՈՒՆՆԵՐԻ ԱԿԱԳԵՐԵԱՅԻ ՏԵՐԵՐԱԳԻՐ ИЗВЕСТИЯ АКАДЕМИИ НАУК АРМЯНСКОЙ

Sырайнаций артопр. оберы VVIII No.4 1974 Серия техноческих наук

на учные заметки

Р. Л. СТЕПАНЯЦ

О ВЛИЯНИИ УПРОЧНЕНИЯ НА ПРОЦЕСС ВЫТЯЖКИ ПИЛИНДРИЧЕСКИХ ДЕТАЛЕЙ

Анализу процесса вытяжки пилиндрических деталей посвящено много работ отечественных и зарубежных исследователей. В большинстве из них с той или иной степенью поиближения учитывались факторы, влияющие на распределение напряжений в очаге деформации. Основными из этих факторов являются: трение под прижимом, трение на скругленной кромке матрицы, изгиб при переходе элементов заготовки на скругленную кромку матрины и при сходе с нее и, наконен, явление упрочисния в процессе холодной деформации. В отношении оценки влияния первых трех факторов можно считать, что имеется некоторое единодушие у большинства авторов, Что касается последне го, то здесь существует несколько различных методов приближенной оценки влияния упрочисния на распределение напряжений.

Были определены поля напряжений с учетом упрочиения путем осреднения величии тангенциальных деформаций по ширине фланца в произвольный момент формонзменения [1:-3]. Есть решения, выполненные без осреднения, в которых напряжения текучесты принимались зависящими от координаты у. Эти решения получены для линейной анпроксимации кривой упрочиения [4]. Имеется также решение с использованием степенной зависимости напряжения текучести от деформации. Однако, в этом случае тангенциальная деформация и принята независимой от координаты 🤌 [5].

Инже предпринята еще одна попытка оценки влияния упрочнения на распределение напряжений.

Совместное решение уравнений равновесия и пластичности для осесимметричной вытяжки дает дифференциальное уравнение

$$dz_{b} = -z_{c} \frac{d\phi}{\phi}. \tag{1}$$

где и напряжение текучести с учетом упрочисния. Принимается степенная зависимость от степени деформации:

$$\sigma_{i} = \frac{\sigma_{n}}{1 - \psi_{in}} \left(\frac{\psi}{\psi_{in}} \right)^{n}, \qquad (2)$$

$$n = \frac{\psi_{in}}{1 - \psi_{in}};$$

где

фа—относительное уменьшение площади поперечного сечения образна в момент образования нейки.

В качестве деформации ф, определяющей степень упрочнения при вытяжке, можно принять деформацию гангенциального сжатия и (она главная и наибольшая для большей части заготовки).

При отыскании, с приемлемой точностью, зависимости € ƒ(р) может быть использовано условие постоянства площади поверхности заготовки. Тогда эта зависимость примет вид 13]:

$$n = 4 = \frac{\rho_0 - \rho}{2} = 1 - \frac{\rho}{\sqrt{R^2 + \rho^2 - R^2}}$$
 (3)

тае R_0 — исходный радиус заготовки; R — радиус заготовки в данный момент деформации; ϱ_n — исходный радиус произвольного элемента заготовки; ϱ — радиус произвольного элемента в данный момент. При данной зависимости и аппроксимации кривой упрочнения во формуле (2) замкнутые решения в виде аналитических выражений \mathfrak{g}_{max} — $(R_n \to \infty)$ не могут быть получены [3].

Для приближенной оценки влияния упрочнения на предлагается следующий закон изменения — в зависимости от текущей координаты;



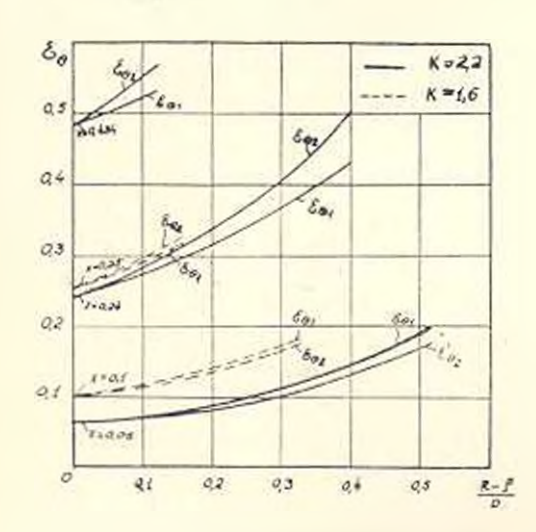


Рис. 1. Графики зависимости вы от координаты р: вы по формуле (3): вы по формуле (4)

Выражение (4) в пределах 1 < k < 2, 2 (k — коэффициент вытяжим) весьма близко аппроксимируется формулой (3).

На рис. I показаны графики зависимости $G = f(\rho)$ по формулам (3) и (4) для различных значении относительного перемещения края за готовки $x = \frac{R_0 - R}{R_0}$.

Подставляя значение в вместо ў в формулу (2) и заменяя за в уравнении (1) пайденным выраженнем напряжения текучести, получим:

$$d\sigma_{\rho} = -\frac{\sigma_{\rm m}}{1-\psi_{\rm m}} \left[\frac{\frac{R_0-R}{R_0} \left(\frac{R}{\rho}\right)^{\frac{3}{2}}}{\frac{\Phi_{\rm m}}{\Phi_{\rm m}}} \right]^{n} \frac{d\rho}{\rho},$$

а после интегрирования, используя граничное условне $\mathfrak{s}_{\scriptscriptstyle 0}=0$ при $\mathfrak{s}=R_{\scriptscriptstyle 0}$

$$z_s = \frac{2}{3} \frac{z_8}{\psi_{sm}^{n+1}} \left(1 - \frac{R}{R_0} \right)^n \left[\left(\frac{R}{2} \right)^{\frac{3}{2}n} - 1 \right].$$
 (5)

Полученная формула позволяет установить разпределение напряжений в и плоской части фланца при вытижке с учетом упрочнения. Максимальное значение в получим при $s=R_1$

$$\sigma_{k} = \frac{2}{3} \frac{\sigma_{a}}{\frac{1}{2}n+1} \left(1 - \frac{R}{R_{0}}\right)^{n} \left[\left(\frac{R}{R_{1}}\right)^{\frac{3}{2}n} - 1\right],$$
 (6)

где R_1- минимальный радиус плоской части фланца.

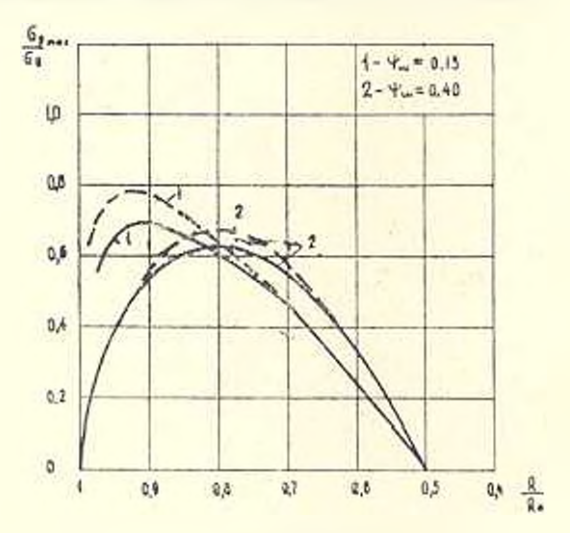


Рис. 2

11а рис. 2 представлены графики зависимости $\sigma_{smax}/\sigma_n = f(R/R_0)$, построенные по формуле (6) (сплошные линии) для значений $\psi_m = 0.15$ и $\psi_m = 0.40$. Там же приведены графики σ_{smax}/σ_n , полученные путем осреднения величины тангенциальной деформация (пунктирные линии) [3].

Как видно из графиков, с увеличением смещения края заготовки (уменьшение R) напряжение $\sigma_{\rm FHIM}$ увеличивается от нуля, достигвя максимума гле- то в пределах $R_0 > R - R_1$, затем уменьшается, досгигая 0 при $R = R_1$. Причем, смещение края, соответствующее максимуму $\sigma_{\rm SHIM}$, увеличивается с увеличением интенсивности упрочнения.

Для учета остальных факторов (трение под прижимом, трение на скругленной кромке матрицы, изгиб и спрямление) по аналогии с навестными формулами можно записать:

$$\sigma_{\text{pmax}} = \sigma_{\text{n}} \left\{ \frac{2}{3} \frac{1}{\psi_{\text{in}}^{n+1}} \left(1 - \frac{R}{R_0} \right)^n \left[\left(\frac{R}{r_1} \right)^{3/2n} - 1 \right] + \frac{2\mu Q}{\pi D t \sigma_{\text{n}}} + \frac{t}{2r_{\text{M}} + t} \right] (1 + 1.6\mu),$$
(7)

где г -- радиус отверстия матрицы.

Выражение (7) позволяет определить изменение напряжения в опасном сечении в процессе деформации с учетом влияния трения, извиба и упрочиения. Оно также может быть использовано для приближенного аналитического расчета величины предельного коэффициента вытяжки к в зависимости от механических характеристик металла.

ЕрПН им. К. Маркса

Поступная 12.Х.1972.

ЛИТЕРАТУРА

- 1. Норицын Н. А. Основы теории миогооперационной вытяжки листового металла. Труды МВМИ, вып. 11, «Советская Наука», 1955.
- 2. Пихтовников Р. В., Запьялова В. И. Штамновка листового металла парывом. М., «Машиностросние», 1964.
- 3. Шофман Л. А. Теория и расчеты процессов холодноя штамполки, М., «Машиностроеияс», 1964.
- 4. Сторожев М. В., Попов Е. А. Теория обработки металлов давлением. М., «Машиностроение», 1971,
- 5. Полов Е. А. Основы теории листовой штамполки. М., «Машипостросние», 1968.

Комичественный расчет спекания под давлением. Бальшин М. Ю. «Известия АН АрмССР (серия Т. Н.)», т. XXVII. № 1, 1974, 3—6.

На примере электролитического медного порошка проведен аналитический и экспериментальный расчет кипетики изменении ряда характеристик порошковых тел (контактное дапление, работа уплотнения и консолидацик, относительная плотность) при изотермическом спекании под постояшным давлением Имело место удовлетворительное социадение установленных на основании экспериментальных данных и расчетных значений колтактного сечения, контактного дапления и приведенной (OTHECCIIION & объему частии) работы уплотвения в консолидации. Экспериментально подтверждено положение о равенстве работы уплотчения и консолидации. Установлена инвариантность величины произведения эффективного контактного давления на квадративый корень из соотнетствующего времени изотермической выдержки. Это позвольно пайти значения эффективного контактного давления при кратковременной выдержке. Минутные значения эффективного контактного давления составляли 30-35% от лиачений кратковременной горичей твердости, т. е. были равны эначениям кратковременного предела текучести при соответствующих земпературах

Табл. 2. Библ. 6 назв.

УДК 669.14+669.18]: 620.193

Коррозионные испытания стали в контакте с интоклавным пенобетоном и битумоперлитом Погосян В. С., Сурис М. А., Финкельштейи Э. Б. «Известия АН АрмССР (серня Т. Н.)», т. XXVII, № 4, 1974, 7—15.

На основе анализа влияния процессов переноса на екорость корролик стали в контакте е влажной теплоизоляцией излагаются основные принияны методики корролионных испытаний стальных образцов в контакте с автоклавным пенобетоном и битумоперантом. Приводятся основные результаты испытаний, проведенных авторами по разработанной метолике.

Илл. 2. Табл. 5, Библ. 2 назв.

УЛК 62-231.31:512.25

Синтез пространственного передаточного механизма типа ВССВ методом кинематического обращения. Шахбазян К. Х., Гаранян С. Б. «Известия АН АрмССР (серк Т. Н.)», т. XXVII. № 4, 1974, 16—19.

Иллюстрирована методика применения принципа кинематического обращения для приведения постановки задачи енитеза пространственного передаточного четырехавенника к задаче определения некоторых особых точек поднижной системы координаг

Пля пяти заданных значений функции воспроизведения решение нелинейной системы расчетных уравнений синтеза спедено к определению корией квадратного уравнения и решению системы линейных уравнений. Приведен числовой пример.

Илл. 3. Библ. 4 назв.

УДК 631.558.1-752+534.1+62-752

О построении стационорных резонансных режимов вибрационной плодоуборочной машины. Бешетя А. П., Варламов Г. П. «Известия АН АрмССР (серия Т. Н.)», т. XXVII. № 4, 1974, 20—26.

Предложена идеализированная физическая модель исследуемой колебательной системы. На основе осимптотических методов теории нелинейных колебаний опредслена резонансная зона процесса колебаний плодов с развитием небольших амилитуд колебаний, вызывающих увеличение динамических сил отрыва. Характер процесса и резонансной области дает возможность задавать генератору колебаний онтимальный режим для сиятия паодов.

Илл. 2. Табл. 3. Библ. 4 назв.

УДК 624.012.3/4+69.058.3:666.972

К определению периодов свободных колебиний железобетонных каркасных эданий с учетом упруго-пластических свойств бетони Гороян Г. А «Изпестия АН АрмССР (серия Т. H.)», т. XXVII, № 4, 1974, 27—32.

С учетом упруго-пластических свойств бетона проанализированы частотные уравнения малых колебаний многоэтажных железобетонных каркасных зданий с абсолютно жестивии ригелями при ривенстве масс, сосредоточенных в уровнях перекрытий. Анализ произведен при неизменных геометрических размерах стоек всех этажей. Зависимость касательного модуля упругости бетона от уровня напряженного состояния принита выпраженной формуле Л. И. Оницика.

Получена расчетная формула для определения периодон первых третонов свободных колебаний железобетонных каркасцых зданий высотой до 16 этажей. Периоды колебаний, вычисленные по предложенной формуле, хорошо согласовываются с результатами натурных измерений периодов более 60 многоэтажных железобетонных каркасных зданий, выстроенных в г. Ереване.

Пал. 2. Табл. 3. Библ. 4 назв.

УДК 539.376+624.012.3/4:624.042

О применении вариационного уравнения Кастильяно теории ползучести при инализе усадочных напряжений в железобетонных конструкциях. Гайтова Л. М. «Изпестия АП АрмССР (серия Т. 11.)», т. XXVII, № 4, 1974, 33—40.

Рассмотрены железобегонные элементы, подзерженные действию изгибающих моментов, меняющихся как по длине, гак и во времени. Получено вариационное уравнение Кастильяно в случае учета усадки и ползучести бетона, на основании которого приведены некоторые приджения георемы Кастильяно ври решении как статачески неопределимых так и стотически определимых задач.

Плл. 7. Библ. 10 казв.

VHK 624.19: 624.042 + 624.138.23

О параметрах глубинной цементиции в оысоконапорных туннелих. Хачикии Г. Г. «Известия АН АрмССР (серия Т. П.)», т XXVII. № 4. 1974, 41—45.

Приводится вывод расчетных зависимостей для определения глубины укрепительной цементации и величины ее давления при строительстве высоконанорных гидротехнических тупнелей и трещиноватых скальных породах Зацементированный слой горного массива рассматривается как толстостенная груба, воспринимающия большую часть внутренней нагруз ки воды. Основные параметры цементации определены, исходя из несущей способности горных пород, находящихся в естественном состоянии, и из условия устойчивостя укрепленной части массива.

Илл. 1. Библ. 8 назв.

УДК 621,313.322-81+621.311.22:62-50:519.3

О точности расчетных характеристик турбоеенероторов, используемых для оптимации режима ТЭС. Бабаян Д. М. «Известия АН АрмССР (серпя Т. Н.)», т. XXVII, № 4, 1974, 54—58.

Рассматривается вопрос точности представления исходной информации в задачах по оптимизации режима теплоной электростанции на ЭЦВМ Обоснована необходимость исследования влияния степени гочности расчетных характеристик турбовгрегатов на эффект оптимизации в каждом конкретном случае. Приведены расчеты по определению перерасхода тепла, связанного с линейной аппроксимацией расходных характеристик различных видов турбовгрегатов.

Илл. 1. Табл. 1. Библ. назв.

VJIK 621.7.01+621.9.06

Модель обрабатываемости меон МЗ, Қасьян М. В., Наджарян М. Т. «Известия АП АрмССР (серия Т. Н.)», т. ХХVИ, № 4, 1974, 59—61.

Приводятся результиты экспериментов, проведенных для выявления выпяния параметров режимного поля на усилия, стойкость, усадку стружки, температуру контакти и пероховатость, а также для выявления причины инжкого коэффициента обрабатынаемости меди.

Установлено, что на обрабатываемость, главным образом, влияют екорость резания и подача. Инэкий коэффициент обрабатываемости меди обуславливается низкой стойкостью инструмента, что является результатом активного воздействия меди на инструментальный материал.

Табл. 1. Вибл. 4 назв.

УДК 621.735.34.041 + 539.37

О влиянии упрочнения на процесс выгняжки цилиндрических детилей. Степаняв Р. Л. «Известия АН АрмССР (серия Т. П.)», т. XXVII, № 4. 1974, 62—65.

Приводится новый подход к оценке плияния упрочиения на процесс холодной вытяжки цилиндрических деталей. В расчетах псиолизованы степениям зависимость напряжения текучести от степени деформации. В качестве деформации, определяющей степень упрочиения при вытяжке принята деформация тангенциального сжатия. Получена приближенияя расчетная формула, позволнющая определить изменение напряжения и опясном сечения в прочессе формонаменения с учетом упрочиения.

Плл. 2. Библ. 5 нази.

УДК 697.91 : 621.515

н выбору гини тупеви фретовного центробежниго турбокомпрессора для систем кондиционирования воздуха. Думпини Р. А. «Известия АН АрмССР (серия Т. П.)», т. XXVII. № 3, 1974, 46—53

Исход по сои меримост патрузок тепло, и хлядопотребления ещтем кондициониревании воздуха для ряда южных городов нашей страны, ноказана необходимость и возможность последовательной и нарадлельной работы сехини компьессора

Приведены интегральные, экспериментальные характеристики ступеней различных типов с попаточным диффулором в инпроком дианалоне условных чисел Маха (Мв. 0. \pm 1.6), которые дают по можность выбрать оптимильный, с эпергетической точки чрении, одинступенчатый компрессор для таких систем. Опыты показали, что этому условно уловлетворые ступень с выходимм углом лопаток рабочего колеса, равным 22°30°

Плл. 4. Библ. 6 назв.

епционичиневинь

Նյութագիտություն

	ւ Մալլին Ճնյման - հոտկայման բանակական հայվարկ Պողոսյան, Մ. Ա. Սուբիս, Է. Բ. Ֆինկելյանյն կորոգիսն փորձայկում	1
	ենթը ավտոկլավային փրփբարհասեի և բիտումատյնոլիտի նետ կոհաակատոմ . Մեքենադինություն	,
4 h.	Շանրազյան, Ա. Ս. Գառանյան, Տարաժական փոխանցի։ BCCB ժեխանիզժի որև- բեզը կինհժատիկ գարձնյիության ժեթոցով	16
H 9.	Philipping, 4. 4. Anniadad. Apprograf apagoinduping aspholy and harbolism.	20
	Շինչութ տուրա կուն, մհիտանիկտո	
9 11.	Դուսյան, Բետոնի առաձգա-ոլաստիկական Հատկությունների Հայվաստով երկաք թետոնն կարկասային շներերի ազատ տատանուժների պարրերությունների որոշ-	
į U.	ժաև չուրչը Գույսովա Սրկաթիևտոևև կոհսարակցիահերում կմկման լարումենրի վնրչուծման ժամանակ	7,
	վերարհրյալ	33
: 1	հայիկլաև, Քարձր հեյումային քունելներում խարդային ցեմենաացման պարամե- արրների մասին	#1
	. Հե - մ ա ա և ի մ ա ի կա	
	Andubjub. Ogh habypepologisch abandiblest ladar hebabaish hibarahasini i anappahadaplungt munkhubb mbab ebaraishink dauph	46
	է ն հ г դ և տ ի կաւ	
# (C,	Ռաբայան, Տուրբոգեներատորհերի մայվարկային բեութագրերի Հատության ժասին՝ 	34
	՝ ֆիտոսկան նոյհ <i>ո</i>	
	. Կուսյան, Մ. Ի. Նաբաշյան, Վդիհե M3-ի ժշակերիության ժողել Սանդիանյան, Գյանաձև դետալների արտանցման արոցների վրա աժբացվան ազդի գության ժասին	59 62

СОДЕРЖАНИЕ

Материаловедение

М. Ю. Бальшин. Количественный расчет спекания под давлением. В. С. Погосян, М. А. Сурис, Э. Б. Финкельштейн. Коррозновные испытания	3
стали в контакте с автоклапным пенобетоном и битумоперлитом	7
Машиностроение	
К. Л. Шахбазля, С. Б. Гараняя, Спитез пространственного передаточного меха- пилма типа ВССВ методом кинематического обращения А. П. Бешетя, Г. И. Вархамов, О построении стационарных резонансных режи-	16
мон вибрационной плодоуборочной машины	20
Строительная механика	
 Горояв. К определению периодов свободных колебаний железобетопных каркасных зданий с учетом упруго-пластических свойств бетона. И Гайтова. О применении париационного уравнения Кастильяно теории 	27
полнучести при нивлизе усадочных напряжений и желевобетонных кон- струкциях	33
Гидротехника	
$F_{\pm} F_{\pm} X$ ачикян. О параметрах глубинной цементации в высоконапорных тупнелях	41
Тепловехника	
Р. А. Думинян. К выбору типа ступени фреонового центробежного турбоком- прессора для систем кондиционирования воздуха	46
Энергетика	
Л. М. Байаян. О точности расчетных характеристик турбогенераторов, используемых для оптимизации режима ТЭС	54
Научные заметки	
М. В. Касыли, М. Г. Наджарян. Модель обрабатываемости меди МЗ Р. Л. Стеланян. О влиянии упрочнения на процесс вытижки цилипарических	59
าตรอาณ์	62

